+République Algérienne Démocratique et Populaire Ministère de l'enseignement supérieur et de la recherche scientifique

Université 8Mai 1945 – Guelma Faculté des sciences et de la Technologie Département d'Electronique et Télécommunications



Pour l'obtention du diplôme de Master Académique

Domaine : Sciences et Technologie

Filière : Electronique

Spécialité : Instrumentation

Etude et modélisation d'un système photovoltaïque par réseaux de neurones artificiels

Présenté par :

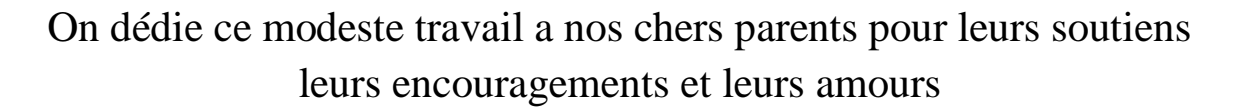
SAIDANI CHEMS EDDINE CHEBATA MOHAMMED ASSIL

Sous la direction de :

MENASRIA AZZEDDINE 2024/2025



Dédicace



On dédie aussi ce modeste travail a nos familles, nos amis et nos collégues

REMRCIEMENT

" وقل رب زدني علما"

qui nous a accordé Sa سبحانه وتعالى Nous rendons grâce à Allah guidance et Sa miséricorde tout au long de ce travail. Nos premiers et plus sincères remerciements vont à nos parents bien-aimés pour leur amour inconditionnel, leurs sacrifices et leurs prières qui ont été notre plus grande force. Une reconnaissance particulière à notre encadreur, le Dr. Menasria Azzeddine, pour ses précieux conseils, sa patience et son accompagnement bienveillant. Nous n'oublions pas Monsieur le Directeur de l'Université ni le personnel administratif et technique, en particulier les agents de nettoyage dont le travail discret est essentiel au bon fonctionnement de notre institution. Un merci tout spécial à notre frère et ami bienton soutien inconditionnel, ta présence - مسيد aimé réconfortante et ton amitié sincère ont illuminé notre parcours. À nos chers camarades de promotion, merci pour l'entraide et les précieux échanges. Enfin, à tous ceux qui ont contribué de près ou de loin à ce mémoire, qu'ils trouvent ici l'expression de .notre profonde gratitude

RESUME:

Ce mémoire de fin d'études porte sur la modélisation d'un système photovoltaïque en utilisant deux approches distinctes : les modèles physiques (à une et deux diodes) et les réseaux de neurones artificiels (RNA). L'objectif principal est de comparer leur efficacité pour prédire les caractéristiques électriques des panneaux solaires, notamment les courbes courant-tension (I-V) et puissance-tension (P-V), sous différentes conditions d'irradiance et de température.

Les modèles physiques, basés sur les équations des semi-conducteurs, permettent une représentation théorique du comportement des cellules PV. Le modèle à une diode, bien que simple, présente des limites en conditions extrêmes, tandis que le modèle à deux diodes offre une meilleure précision en intégrant les phénomènes de recombinaison des charges. Ces modèles sont résolus numériquement à l'aide de la méthode Newton-Raphson

Parallèlement, un réseau de neurones artificiels (RNA) est développé sous MATLAB pour prédire les performances du système. Le RNA utilise trois entrées (irradiance, température et tension) et une couche cachée de 15 neurones, entraînée avec l'algorithme Levenberg-Marquardt. Les résultats montrent que le RNA offre une précision remarquable (erreur quadratique moyenne inférieure à 0,001) et une excellente capacité d'adaptation, même pour des conditions non incluses dans les données d'apprentissage.

Les simulations confirment que le RNA surpasse les modèles analytiques en termes de flexibilité et de précision, notamment pour identifier le point de puissance maximale (MPP). Cette approche ouvre des perspectives prometteuses pour l'optimisation des systèmes photovoltaïques, notamment dans des applications intelligentes comme le suivi du MPP ou la détection de pannes.

ملخص:

تتناول هذه المذكرة نمذجة نظام كهروضوئي باستخدام منهجين مختلفين: النماذج الفيزيائية (بنموذج ديود واحد وديودين) وشبكات العصبية الاصطناعية .(RNA) الهدف الأساسي هو مقارنة فعاليتهما في التنبؤ بالخصائص الكهربائية للألواح الشمسية، وخاصة منحنيات التيار -الجهد (I-V) والطاقة -الجهد (P-V) ، تحت ظروف إشعاعية وحرارية مختلفة.

تعتمد النماذج الفيزيائية على معادلات أشباه الموصلات لتقديم تمثيل نظري لسلوك الخلايا الكهروضوئية. بينما يقدم نموذج الديود الواحد حلاً بسيطاً، إلا أن له محدوديات في الظروف القاسية، في حين يوفر نموذج الديودين دقة أعلى من خلال دمج ظواهر إعادة تركيب الشحنات. يتم حل هذه النماذج عددياً باستخدام طريقة نيوتن-رافسون.

بالتوازي مع ذلك، تم تطوير شبكة عصبية اصطناعية (RNA) باستخدام برنامج MATLAB للتنبؤ بأداء النظام. تستخدم الشبكة العصبية ثلاث مدخلات (شدة الإشعاع، درجة الحرارة، والجهد) وتتضمن طبقة مخفية مكونة من 15 عصبوناً، مع تدريب باستخدام خوارزمية ليفينبرج-ماركوارت. تظهر النتائج أن الشبكة العصبية توفر دقة استثنائية (متوسط الخطأ التربيعي أقل من 0.001) وقدرة ممتازة على التكيف، حتى مع الظروف غير المدرجة في بيانات التدريب.

تؤكد المحاكاة تفوق الشبكات العصبية الاصطناعية على النماذج التحليلية من حيث المرونة والدقة، خاصة في تحديد نقطة الطاقة القصوى .(MPP) يفتح هذا المنهج آفاقاً واعدة لتحسين الأنظمة الكهروضوئية، لا سيما في التطبيقات الذكية مثل تتبع نقطة الطاقة القصوى أو كشف الأعطال .

ABSTRACT:

This final-year thesis focuses on modeling a photovoltaic (PV) system using two distinct approaches: physical models (single-diode and double-diode) and artificial neural networks (ANNs). The primary objective is to compare their effectiveness in predicting the electrical characteristics of solar panels, particularly the current-voltage (I-V) and power-voltage (P-V) curves, under varying irradiance and temperature conditions.

The physical models, based on semiconductor equations, provide a theoretical representation of PV cell behavior. The single-diode model, though simple, has limitations under extreme conditions, while the double-diode model offers better accuracy by accounting for charge recombination effects. These models are solved numerically using the Newton-Raphson method

In parallel, an artificial neural network (ANN) is developed in MATLAB to predict system performance. The ANN uses three inputs (irradiance, temperature, and voltage) and a hidden layer with 15 neurons, trained using the Levenberg-Marquardt algorithm. The results show that the ANN achieves remarkable accuracy (mean squared error below 0.001) and excellent adaptability, even for conditions not included in the training data.

The simulations confirm that the ANN outperforms analytical models in terms of flexibility and precision, particularly in identifying the maximum power point (MPP). This approach opens promising prospects for PV system optimization, especially in smart applications such as MPP tracking and fault detection .

Sommaire

Liste des Figures
Liste des tableaux
Liste des symboles
Liste des abréviations
Introduction Générale
CHAPITRE 1 : GENERALITE SUR LES SYSTEMES PHOTOVOLTAÏQUE
I.1 INTRODUCTION
I.2 HISTORIQUE
I.3 TYPE D ÉNERGIES RENOUVELABLES
I.3.1AVANTAGES DES ÉNERGIES RENOUVELABLES
I.3.2 DÉFIS DES ENERGIES RENOUVLABLES
I.4 GENERALITES SUR LE SOLEIL
I.4.1 LE RAYONEMMENT SOLAIRE
I .4.2 INTENSITÉ DU RAYONEMMENT SOLAIRE
I.4.3 RAYONNEMENT DIRECT
I.4.4 RAYONNEMENT DIFFUS
I.4.5 RAYONNEMENT SOLAIRE REFICHÉ
I.4.6 RAYONEMMENT GLOBALE
I.4.7 LES PANNEAUX SOLAIRE
I.5 SPECTRE DU RAYONNEMENT
I.6 LA CELLULE PHOTOVOLTAIQUE9
I.6.1 CELLULE SOLAIRE9
I.6.2 CARACTÉRISTIQUES ELECTRIQUE D UNE CELLULE PHOTOVOLTAIQUE 10
I.6.3 RENDEMENT ÉNERGÉTIQUE
I.7 AVANTAGES ET INCONVÉNIENTS DE L ÉNERGIE PHOTOVOLTAIQUE 12
I.7.1 AVANTAGES
I.7.2 INCONVENIENTS
I.8 POTENTIEL SOLAIRE EN ALGÉRIE

I.8.1 LE FUTURE DE L ENEGIE SOLAIRE EN ALGÉRIE	13
I.9 CONCLUSION	14
CHAPITRE 02 : PRINCIPES ET MÉTHODE DE MODÉLISATION PHOTOVOLTAIQUES	
II.1 INTRODUCTION	16
II.2 CARACTÉRISTIQUES DE LA CELLULE PHOTOVOLTAIQUE	16
II.2.1 IMPACT DES FACTEURS ENVIRONNEMENTAUX SUR LES MODULES	
PHOTOVOLTAIQUE	19
II.3 MODÉLISATION D UNE CELLULE PHOTOVOLTAIQUE	22
II.4 MODÈLE PHYSIQUE	22
II.4.1 MODÈLE A UNE DIODE	23
II.4.2 MODÈLE A DEUX DIODE	24
II.4.3 MÉTHODES D'IDENTIFICATION DES PARAMÈTRES	26
II.5 MODELE EMPIRIQUE BASÉE SUR L'AJUSTEMENT STATISTIQUE	28
II.5.1 INTRODUCTION	28
II.5.2 MODELÉ LINÉAIRE SIMPLIFIÉ	28
II.5.3 MODÈLE NON LINÉAIRE	29
II.6 MODÈLE NUMÉRIQUE PAR APPRENTISSAGE AUTOMATIQUE(ML)	30
II.6.1 INTRODUCTION	30
II.6.2 RÉSEAUX DE NEURONES ARTIFICIELS	32
II.6.3 MÉTHODOLOGIE D'ENTRAÎNEMENT DES RNA	32
II.7 CONCLUSION	35
CHAPITRE 03: MODÉLISATION ET SIMULATION D'UN PV AVEC DIODE E	:T
RÉSEAU DE NEURONE	
III.1 INTRODUCTION	38
III.2 CARACTÉRISATIONS DES GÉNÉRATEURS PHOTOVOLTAIQUE	38
III.2.1 CARACTÉRISTIQUES (I-V) et (P-V)	38
III.3 INFLUENCE DE LA TEMPÉRATURE	38
III.3.1 CARACTÉRISTIQUES I= F(V)	38
III.3.2 CARACTÉRISTIQUES P= F(V)	39
III.4 INFLUENCE DE L'IRRADIATION	40
III.4.1 CARACTÉRISTIQUES I= F(V)	40
III.4.2 CARACTÉRISTIQUES I= F(V)	40
III.5 MODÈLE MATHÉMATIQUE(MODÈLE A UNE DIODE)	41
III.6 MODÈLE PROPOSÉ A RESEAU DE NEURONE	45
III.7 DÉVELOPPEMENT DU MODÈLE DE RÉSEAU DE NEURONES ARTIFICIELS	45
III.7.1 COLLECTE DES DONNEES EXPÉRIMENTALS	45
III.7.2 CHOIX DE L ARCHITECTURE DU RÉSEAU DE NEURONES	46
III.7.3 PHASES DE APPRENTISSAGE	46
III.7.4 ÉVALUATION DE PERFORMANCES	47
III.8 RÉSULTATS INTERPRÉTATION DES COURBES I V ET P V	48

FIGURE I.2: Le spectre solaire hors atmosphère FIGURE I.3: Structure d'une cellule photovoltaïque utilisant de silicium commematériau PV (présence d'une jonction PN) FIGURE I.4: La moyenne annuelle de l'irradiation globale en Algérie période 1992-2002 FIGURE II.1: Les caractéristiques courant-tension et puissance-tension FIGURE II.2: Influence de l'éclairement sur la caractéristique I-V protect FIGURE II.3: Influence de la température sur la caractéristique I-V FIGURE II.4: Modèle à une diode FIGURE II.5: Modèle à duex diode FIGURE II.6: Architecture générale d'un modèle de machine à vecteurs de support FIGURE II.1: Courbe caractéristique I=f(V) et P=f(V) FIGURE III.1: Courbe caractéristiques de I = f(V) en fonction des variations de température et de l'irradiance standard (1000 W/m²). FIGURE III.3:: Les caractéristiques de P=f(V) en fonction des variations de températures et irradiance Standard (1000 W/m²). FIGURE III.4: Les caractéristiques de I=f(V) en fonction des variations de températures et irradiance Standard (1000 W/m²). FIGURE III.5: Les caractéristiques de P=f(I) en fonction des variations d'irradiance et une température Standard de 25°C FIGURE III.5: Les caractéristiques de P=f(I) en fonction des variations d'irradiance et une température Standard de 25°C FIGURE III.6: Organigramme de la méthode Newton-Raphson FIGURE III.7: Courbes I-V pour différents ensoleillements FIGURE III.8: Courbes I-V pour différents températures	III.8.1 COURBÉS I V PRÉCISION DU MODÈLE RNA	48	
LISTE DES FIGURES FIGURE I.1: Composants du rayonnement solaire FIGURE I.2: Le spectre solaire hors atmosphère. FIGURE I.3: Structure d'une cellule photovoltaïque utilisant de silicium commematériau PV (présence d'une jonction PN). FIGURE I.4: La moyenne annuelle de l'irradiation globale en Algérie période 1992-2002. FIGURE II.1: Les caractéristiques courant-tension et puissance-tension. FIGURE II.3: Influence de l'éclairement sur la caractéristique I-V protect. FIGURE II.4: Modèle à une diode. FIGURE II.5: Modèle à duex diode FIGURE II.7: Architecture d'un réseau de neurones artificiels pour une cellule PV FIGURE II.1: Courbe caractéristiques de I = f(V) en fonction des variations de températures et irradiance standard (1000 W/m²). FIGURE III.3: Les caractéristiques de P=f(V) en fonction des variations de températures et irradiance Standard (1000 W/m²). FIGURE III.4: Les caractéristiques de I=f(V) en fonction des variations de températures Standard de 25°C. FIGURE III.5: Les caractéristiques de P=f(I) en fonction des variations d'irradiance et une température Standard de 25°C FIGURE III.5: Courbes I-V pour différents ensoleillements.			
LISTE DES FIGURES FIGURE I.1: Composants du rayonnement solaire FIGURE I.2: Le spectre solaire hors atmosphère. FIGURE I.3: Structure d'une cellule photovoltaïque utilisant de silicium commematériau PV (présence d'une jonction PN). FIGURE I.4: La moyenne annuelle de l'irradiation globale en Algérie période 1992- 2002. FIGURE II.1: Les caractéristiques courant-tension et puissance-tension. FIGURE II.2: Influence de l'éclairement sur la caractéristique I-V protect. FIGURE II.3: Influence de la température sur la caractéristique I-V. FIGURE II.4: Modèle à une diode. FIGURE II.5: Modèle à duex diode FIGURE II.6: Architecture générale d'un modèle de machine à vecteurs de support. FIGURE II.1: Courbe caractéristique I=f(V) et P=f(V) FIGURE III.1: Courbe caractéristique de I = f(V) en fonction des variations de la température et de l'irradiance standard (1000 W/m²). FIGURE III.3: Les caractéristiques de P=f(V) en fonction des variations de températures et irradiance Standard (1000 W/m²). FIGURE III.4: Les caractéristiques de I=f(V) en fonction des variations de températures tandard de 25°C. FIGURE III.5: Les caractéristiques de P=f(I) en fonction des variations d'irradiance et une température Standard de 25°C. FIGURE III.5: Les caractéristiques de P=f(I) en fonction des variations d'irradiance et une température Standard de 25°C. FIGURE III.5: Les caractéristiques de P=f(I) en fonction des variations d'irradiance et une température Standard de 25°C. FIGURE III.7: Courbes I-V pour différents ensoleillements.			
LISTE DES FIGURES FIGURE I.1: Composants du rayonnement solaire FIGURE I.2: Le spectre solaire hors atmosphère FIGURE I.3: Structure d'une cellule photovoltaïque utilisant de silicium commematériau PV (présence d'une jonction PN). FIGURE I.4: La moyenne annuelle de l'irradiation globale en Algérie période 1992- 2002. FIGURE II.1: Les caractéristiques courant-tension et puissance-tension. FIGURE II.2: Influence de l'éclairement sur la caractéristique I-V protect. FIGURE II.3: Influence de la température sur la caractéristique I-V. FIGURE II.4: Modèle à une diode. FIGURE II.5: Modèle à duex diode. FIGURE II.6: Architecture générale d'un modèle de machine à vecteurs de support. FIGURE II.1: Courbe caractéristique I=f(V) et P=f(V) FIGURE III.1: Courbe caractéristique de I = f(V) en fonction des variations de la température et de l'irradiance standard (1000 W/m²). FIGURE III.3:: Les caractéristiques de I = f(V) en fonction des variations de températures et irradiance Standard (1000 W/m²). FIGURE III.4: Les caractéristiques de I=f(V) en fonction des variations d'irradiance et une température Standard de 25°C. FIGURE III.5: Les caractéristiques de P=f(I) en fonction des variations d'irradiance et une température Standard de 25°C. FIGURE III.5: Courbes I-V pour différents ensoleillements.			
FIGURE I.1: Composants du rayonnement solaire FIGURE I.2: Le spectre solaire hors atmosphère FIGURE I.3: Structure d'une cellule photovoltaïque utilisant de silicium commematériau PV (présence d'une jonction PN) FIGURE I.4: La moyenne annuelle de l'irradiation globale en Algérie période 1992-2002 FIGURE II.1: Les caractéristiques courant-tension et puissance-tension FIGURE II.2: Influence de l'éclairement sur la caractéristique I-V protect FIGURE II.3: Influence de la température sur la caractéristique I-V FIGURE II.4: Modèle à une diode FIGURE II.5: Modèle à duex diode FIGURE II.6: Architecture générale d'un modèle de machine à vecteurs de support FIGURE II.7: Architecture d'un réseau de neurones artificiels pour une cellule PV FIGURE III.1: Courbe caractéristique I=f(V) et P=f(V) FIGURE III.2: Les caractéristiques de I = f(V) en fonction des variations de la température et de l'irradiance standard (1000 W/m²). FIGURE III.3:: Les caractéristiques de P=f(V) en fonction des variations de températures et irradiance Standard (1000 W/m²). FIGURE III.4: Les caractéristiques de I=f(V) en fonction des variations d'irradiance et une température Standard de 25°C FIGURE III.5: Les caractéristiques de P=f(I) en fonction des variations d'irradiance et une température Standard de 25°C FIGURE III.6: Organigramme de la méthode Newton-Raphson FIGURE III.7: Courbes I-V pour différentes ensoleillements FIGURE III.8: Courbes I-V pour différentes températures	III.10 CONCLUSION	34	
FIGURE I.1: Composants du rayonnement solaire FIGURE I.2: Le spectre solaire hors atmosphère FIGURE I.3: Structure d'une cellule photovoltaïque utilisant de silicium commematériau PV (présence d'une jonction PN) FIGURE I.4: La moyenne annuelle de l'irradiation globale en Algérie période 1992-2002 FIGURE II.1: Les caractéristiques courant-tension et puissance-tension FIGURE II.2: Influence de l'éclairement sur la caractéristique I-V protect FIGURE II.3: Influence de la température sur la caractéristique I-V FIGURE II.4: Modèle à une diode FIGURE II.5: Modèle à duex diode FIGURE II.6: Architecture générale d'un modèle de machine à vecteurs de support FIGURE II.7: Architecture d'un réseau de neurones artificiels pour une cellule PV FIGURE III.1: Courbe caractéristique I=f(V) et P=f(V) FIGURE III.2: Les caractéristiques de I = f(V) en fonction des variations de la température et de l'irradiance standard (1000 W/m²). FIGURE III.3:: Les caractéristiques de P=f(V) en fonction des variations de températures et irradiance Standard (1000 W/m²). FIGURE III.4: Les caractéristiques de I=f(V) en fonction des variations d'irradiance et une température Standard de 25°C FIGURE III.5: Les caractéristiques de P=f(I) en fonction des variations d'irradiance et une température Standard de 25°C FIGURE III.6: Organigramme de la méthode Newton-Raphson FIGURE III.7: Courbes I-V pour différentes ensoleillements FIGURE III.8: Courbes I-V pour différentes températures			
FIGURE I.2: Le spectre solaire hors atmosphère FIGURE I.3: Structure d'une cellule photovoltaïque utilisant de silicium commematériau PV (présence d'une jonction PN) FIGURE I.4: La moyenne annuelle de l'irradiation globale en Algérie période 1992-2002 FIGURE II.1: Les caractéristiques courant-tension et puissance-tension FIGURE II.2: Influence de l'éclairement sur la caractéristique I-V protect FIGURE II.3: Influence de la température sur la caractéristique I-V FIGURE II.4: Modèle à une diode FIGURE II.5: Modèle à duex diode FIGURE II.6: Architecture générale d'un modèle de machine à vecteurs de support FIGURE II.1: Courbe caractéristique I=f(V) et P=f(V) FIGURE III.1: Courbe caractéristique de I = f(V) en fonction des variations de la température et de l'irradiance standard (1000 W/m²). FIGURE III.3:: Les caractéristiques de P=f(V) en fonction des variations de températures et irradiance Standard (1000 W/m²). FIGURE III.4: Les caractéristiques de I=f(V) en fonction des variations de températures et irradiance Standard (1000 W/m²). FIGURE III.5: Les caractéristiques de P=f(I) en fonction des variations d'irradiance et une température Standard de 25°C FIGURE III.5: Les caractéristiques de P=f(I) en fonction des variations d'irradiance et une température Standard de 25°C FIGURE III.6: Organigramme de la méthode Newton-Raphson FIGURE III.7: Courbes I-V pour différents ensolcillements FIGURE III.8: Courbes I-V pour différents températures	LISTE DES FIGURES		
FIGURE I.3: Structure d'une cellule photovoltaïque utilisant de silicium commematériau PV (présence d'une jonction PN) FIGURE I.4: La moyenne annuelle de l'irradiation globale en Algérie période 1992-2002 FIGURE II.1: Les caractéristiques courant-tension et puissance-tension FIGURE II.2: Influence de l'éclairement sur la caractéristique I-V protect FIGURE II.3: Influence de la température sur la caractéristique I-V FIGURE II.4: Modèle à une diode FIGURE II.5: Modèle à duex diode FIGURE II.6: Architecture générale d'un modèle de machine à vecteurs de support FIGURE II.1: Courbe caractéristique I=f(V) et P=f(V) FIGURE III.1: Courbe caractéristiques de I = f(V) en fonction des variations de la température et de l'irradiance standard (1000 W/m²). FIGURE III.3:: Les caractéristiques de P=f(V) en fonction des variations de températures et irradiance Standard (1000 W/m²). FIGURE III.4: Les caractéristiques de P=f(V) en fonction des variations d'irradiance et une température Standard de 25°C FIGURE III.5: Les caractéristiques de P=f(I) en fonction des variations d'irradiance et une température Standard de 25°C FIGURE III.6: Organigramme de la méthode Newton-Raphson FIGURE III.7: Courbes I-V pour différents ensoleillements FIGURE III.8: Courbes I-V pour différents températures	FIGURE I.1: Composants du rayonnement solaire	7	7
commematériau PV (présence d'une jonction PN) FIGURE I.4: La moyenne annuelle de l'irradiation globale en Algérie période 1992-2002 FIGURE II.1: Les caractéristiques courant-tension et puissance-tension FIGURE II.2: Influence de l'éclairement sur la caractéristique I-V protect FIGURE II.3: Influence de la température sur la caractéristique I-V FIGURE II.4: Modèle à une diode FIGURE II.5: Modèle à duex diode FIGURE II.6: Architecture générale d'un modèle de machine à vecteurs de support FIGURE III.1: Courbe caractéristique I=f(V) et P=f(V) FIGURE III.1: Courbe caractéristique de I = f(V) en fonction des variations de la température et de l'irradiance standard (1000 W/m²). FIGURE III.3: Les caractéristiques de P=f(V) en fonction des variations de températures et irradiance Standard (1000 W/m²). FIGURE III.4: Les caractéristiques de I=f(V) en fonction des variations d'irradiance et une température Standard de 25°C FIGURE III.5: Les caractéristiques de P=f(I) en fonction des variations d'irradiance et une température Standard de 25°C FIGURE III.6: Organigramme de la méthode Newton-Raphson FIGURE III.7: Courbes I-V pour différentes températures	FIGURE I.2 : Le spectre solaire hors atmosphère	9)
commematériau PV (présence d'une jonction PN)	FIGURE I.3: Structure d'une cellule photovoltaïque utilisant de silicium	1	0
FIGURE II.1: Les caractéristiques courant-tension et puissance-tension	commematériau PV (présence d'une jonction PN)		Ů
FIGURE II.1: Les caractéristiques courant-tension et puissance-tension	FIGURE I.4 : La moyenne annuelle de l'irradiation globale en Algérie période 1992-	1	3
FIGURE II.2: Influence de l'éclairement sur la caractéristique I-V protect	2002		
FIGURE II.3: Influence de la température sur la caractéristique I-V	FIGURE II.1: Les caractéristiques courant-tension et puissance-tension	. 1	6
FIGURE II.4: Modèle à une diode	FIGURE II.2: Influence de l'éclairement sur la caractéristique I-V protect	2	1
FIGURE II .5 : Modèle à duex diode FIGURE II .6 : Architecture générale d'un modèle de machine à vecteurs de support FIGURE II.7 : Architecture d'un réseau de neurones artificiels pour une cellule PV FIGURE III .1 : Courbe caractéristique I=f(V) et P=f(V) FIGURE III.2 : Les caractéristiques de I = f(V) en fonction des variations de la température et de l'irradiance standard (1000 W/m²). FIGURE III .3 : Les caractéristiques de P=f(V) en fonction des variations de températures et irradiance Standard (1000 W/m²). FIGURE III.4 : Les caractéristiques de I=f(V) en fonction des variations d'irradiance et une température Standard de 25°C. FIGURE III .5 : Les caractéristiques de P=f(I) en fonction des variations d'irradiance et une température Standard de 25°C FIGURE III.5 : Courbes I-V pour différents ensoleillements. FIGURE III.8 : Courbes I-V pour différentes températures	FIGURE II.3: Influence de la température sur la caractéristique I-V	. 2	2
FIGURE II.6: Architecture générale d'un modèle de machine à vecteurs de support FIGURE II.7: Architecture d'un réseau de neurones artificiels pour une cellule PV FIGURE III.1: Courbe caractéristique I=f(V) et P=f(V) FIGURE III.2: Les caractéristiques de I = f(V) en fonction des variations de la température et de l'irradiance standard (1000 W/m²). FIGURE III.3:: Les caractéristiques de P=f(V) en fonction des variations de températures et irradiance Standard (1000 W/m²). FIGURE III.4: Les caractéristiques de I=f(V) en fonction des variations d'irradiance et une température Standard de 25°C FIGURE III.5: Les caractéristiques de P=f(I) en fonction des variations d'irradiance et une température Standard de 25°C FIGURE III.6: Organigramme de la méthode Newton-Raphson FIGURE III.7: Courbes I-V pour différents ensoleillements	FIGURE II.4 : Modèle à une diode	. 2	3
FIGURE III.1: Architecture d'un réseau de neurones artificiels pour une cellule PV FIGURE III.1: Courbe caractéristique I=f(V) et P=f(V) FIGURE III.2: Les caractéristiques de I = f(V) en fonction des variations de la température et de l'irradiance standard (1000 W/m²). FIGURE III.3: Les caractéristiques de P=f(V) en fonction des variations de températures et irradiance Standard (1000 W/m²). FIGURE III.4: Les caractéristiques de I=f(V) en fonction des variations d'irradiance et une température Standard de 25°C. FIGURE III.5: Les caractéristiques de P=f(I) en fonction des variations d'irradiance et une température Standard de 25°C FIGURE III.6: Organigramme de la méthode Newton-Raphson FIGURE III.7: Courbes I-V pour différentes ensoleillements.	FIGURE II .5 : Modèle à duex diode	. 2	5
FIGURE III.1: Courbe caractéristique I=f(V) et P=f(V) FIGURE III.2: Les caractéristiques de I = f(V) en fonction des variations de la température et de l'irradiance standard (1000 W/m²). FIGURE III.3: Les caractéristiques de P=f(V) en fonction des variations de températures et irradiance Standard (1000 W/m²). FIGURE III.4: Les caractéristiques de I=f(V) en fonction des variations d'irradiance et une température Standard de 25°C. FIGURE III.5: Les caractéristiques de P=f(I) en fonction des variations d'irradiance et une température Standard de 25°C FIGURE III.6: Organigramme de la méthode Newton-Raphson FIGURE III.7: Courbes I-V pour différents ensoleillements.	FIGURE II .6 : Architecture générale d'un modèle de machine à vecteurs de support	. 3	1
FIGURE III.2: Les caractéristiques de I = f(V) en fonction des variations de la température et de l'irradiance standard (1000 W/m²). FIGURE III .3: Les caractéristiques de P=f(V) en fonction des variations de températures et irradiance Standard (1000 W/m²). FIGURE III.4: Les caractéristiques de I=f(V) en fonction des variations d'irradiance et une température Standard de 25°C. FIGURE III.5: Les caractéristiques de P=f(I) en fonction des variations d'irradiance et une température Standard de 25°C FIGURE III.6: Organigramme de la méthode Newton-Raphson FIGURE III.7: Courbes I-V pour différents ensoleillements. FIGURE III.8: Courbes I-V pour différentes températures	FIGURE II.7: Architecture d'un réseau de neurones artificiels pour une cellule PV	. 3	3
de la température et de l'irradiance standard (1000 W/m²). FIGURE III .3 :: Les caractéristiques de P=f(V) en fonction des variations de températures et irradiance Standard (1000 W/m²). FIGURE III.4 : Les caractéristiques de I=f(V) en fonction des variations d'irradiance et une température Standard de 25°C. FIGURE III .5 : Les caractéristiques de P=f(I) en fonction des variations d'irradiance et une température Standard de 25°C FIGURE III.6 : Organigramme de la méthode Newton-Raphson FIGURE III.7 : Courbes I-V pour différents ensoleillements. FIGURE III.8 : Courbes I-V pour différentes températures	FIGURE III .1 : Courbe caractéristique I=f(V) et P=f(V)	. 3	8
FIGURE III .3: Les caractéristiques de P=f(V) en fonction des variations de températures et irradiance Standard (1000 W/m²). FIGURE III.4: Les caractéristiques de I=f(V) en fonction des variations d'irradiance et une température Standard de 25°C. FIGURE III .5: Les caractéristiques de P=f(I) en fonction des variations d'irradiance et une température Standard de 25°C. FIGURE III.6: Organigramme de la méthode Newton-Raphson FIGURE III.7: Courbes I-V pour différents ensoleillements. FIGURE III.8: Courbes I-V pour différentes températures	FIGURE III.2 : Les caractéristiques de $I = f(V)$ en fonction des variations	3	9
températures et irradiance Standard (1000 W/m²). FIGURE III.4: Les caractéristiques de I=f(V) en fonction des variations d'irradiance et une température Standard de 25°C. FIGURE III .5: Les caractéristiques de P=f(I) en fonction des variations d'irradiance et une température Standard de 25°C. FIGURE III.6: Organigramme de la méthode Newton-Raphson FIGURE III.7: Courbes I-V pour différents ensoleillements. FIGURE III.8: Courbes I-V pour différentes températures	de la température et de l'irradiance standard (1000 W/m²).		
FIGURE III.4: Les caractéristiques de I=f(V) en fonction des variations d'irradiance et une température Standard de 25°C. FIGURE III.5: Les caractéristiques de P=f(I) en fonction des variations d'irradiance et une température Standard de 25°C FIGURE III.6: Organigramme de la méthode Newton-Raphson FIGURE III.7: Courbes I-V pour différents ensoleillements. FIGURE III.8: Courbes I-V pour différentes températures	FIGURE III .3 : Les caractéristiques de P=f(V) en fonction des variations de	3	9
et une température Standard de 25°C FIGURE III .5 : Les caractéristiques de P=f(I) en fonction des variations d'irradiance et une température Standard de 25°C FIGURE III.6 : Organigramme de la méthode Newton-Raphson FIGURE III.7 : Courbes I-V pour différents ensoleillements FIGURE III.8 : Courbes I-V pour différentes températures	températures et irradiance Standard (1000 W/m²).		
FIGURE III .5: Les caractéristiques de P=f(I) en fonction des variations d'irradiance et une température Standard de 25°C FIGURE III.6: Organigramme de la méthode Newton-Raphson FIGURE III.7: Courbes I-V pour différents ensoleillements FIGURE III.8: Courbes I-V pour différentes températures	FIGURE III.4: Les caractéristiques de I=f(V) en fonction des variations d'irradiance	4	0
une température Standard de 25°C FIGURE III.6 : Organigramme de la méthode Newton-Raphson FIGURE III.7 : Courbes I-V pour différents ensoleillements FIGURE III.8 : Courbes I-V pour différentes températures	et une température Standard de 25°C		
FIGURE III.6 : Organigramme de la méthode Newton-Raphson FIGURE III.7 : Courbes I-V pour différents ensoleillements. FIGURE III.8 : Courbes I-V pour différentes températures	FIGURE III .5 : Les caractéristiques de P=f(I) en fonction des variations d'irradiance e	t 4	1
FIGURE III. 7 : Courbes I-V pour différents ensoleillements. FIGURE III.8 : Courbes I-V pour différentes températures.	une température Standard de 25°C		
FIGURE III.8 : Courbes I-V pour différentes températures	FIGURE III.6: Organigramme de la méthode Newton-Raphson	4	3
-	FIGURE III. 7 : Courbes I-V pour différents ensoleillements	4	4
FIGURE III .9 : Modèle Réseau de neurones (entrées et sortie)	FIGURE III.8: Courbes I-V pour différentes températures	4	4
	FIGURE III .9 : Modèle Réseau de neurones (entrées et sortie)	. 4	5

FIGURE III.10 : le 1 ^{er} bloc de conception du réseau par logiciel MATLAB	46
FIGURE III.11 : le 2 ^{éme bloc} d'apprentissage du réseau par logiciel MATLAB	46
FIGURE III.12 Courbes P= f(V) mesurées et estimées par RNA à G=1000w/m ²	47
pour différentes températures	
FIGURE III.13 Courbes P= f(V) mesurées et estimées par RNA à G= 1000 °C pour différentes températur	47
FIGURE III.14 : Courbes $I = f(V)$ mesurées et estimées par RNA à $T = 25$ pour différentes Irradiations	48
FIGURE III.15 Courbes P= f(V) mesurées et estimées par RNA à T=25 mour différentes Irradiations	48
FIGUREIII.16 : Performance du réseau de neurones	49
TABLEAU I.1 : Taux d'ensoleillement pour chaque région de l'Algérie	13
TABLEAU III.1 : Paramètres du constructeur du module PV « Sun Power 300 »	42
TABLEAU III.2 : Eam entre caractéristiques I=f(v) Simulink et RN	49

Introduction Générale

Introduction Générale

L'énergie solaire photovoltaïque s'impose aujourd'hui comme une solution clé dans la transition vers des systèmes énergétiques durables. En Algérie, où le potentiel solaire est exceptionnel, cette technologie offre des perspectives prometteuses pour répondre aux besoins croissants en électricité tout en réduisant l'empreinte environnementale.

Ce travail s'intéresse à la modélisation des systèmes photovoltaïques, une étape fondamentale pour comprendre et optimiser leur fonctionnement. La modélisation permet d'analyser le comportement électrique des panneaux solaires en fonction des conditions d'ensoleillement et de température, sans recourir systématiquement à des mesures expérimentales complexes.

L'étude se concentre sur différentes approches de représentation des caractéristiques électriques des modules photovoltaïques. Les modèles physiques, basés sur les principes de fonctionnement des semi-conducteurs, décrivent avec précision les phénomènes de conversion de l'énergie lumineuse en électricité. Les modèles empiriques, quant à eux, offrent une alternative pragmatique pour une implémentation rapide. Enfin, les techniques d'intelligence artificielle apportent des solutions innovantes pour une modélisation adaptative.

L'objectif principal de cette recherche est d'établir une base solide pour la compréhension et l'analyse des systèmes photovoltaïques. Les résultats obtenus contribueront à améliorer la conception des installations solaires et à faciliter leur intégration dans les réseaux électriques. Cette étude s'inscrit dans une démarche scientifique visant à renforcer les connaissances dans le domaine des énergies renouvelables et à soutenir le développement de solutions énergétiques propres et efficaces.

A travers ce travail, nous souhaitons apporter une contribution utile aux efforts déployés pour une utilisation optimale de l'énergie solaire, ressource abondante et inépuisable, au service d'un développement durable

CHAPITRE 1 Généralités sur les

systèmes photovoltaïques

I.1Introduction:

Actuellement, dans le monde, l'énergie électrique est produite, en grande partie, à partir de la combustion des carburants fossiles (charbon, pétrole, gaz naturel) ou de matériaux radioactifs. Ces procédés ont un impact nocif considérable sur l'environnement, notamment à cause des émissions de gaz à effet de serre et de la production de déchets radioactifs. Pour des considérations écologiques et pour remédier aux effets néfastes de la pollution due aux énergies fossiles, l'Hommes oriente de plus en plus vers l'utilisation de ressources propres et renouvelables, dont l'énergie solaire La production de l'électricité par les systèmes photovoltaïques utilisant l'énergie solaire suscite un plus grand intérêt, connaît une croissance significative et trouve de plus en plus de nouvelles applications. D'où, l'intérêt d'étudier minutieusement cette ressource d'énergie dont sa composante photovoltaïque. Les éléments constitutifs des systèmes photovoltaïques, leurs fonctions, avantages et inconvénients

I.2. Historique:

L'effet photoélectrique a été découvert au 19e siècle. En 1839, le physicien français Alexandre Edmond Becquerel a observé que certains matériaux peuvent produire une faible quantité de courant sous l'effet de la lumière : ce phénomène permet la conversion de la lumière en électricité. Plus tard, beaucoup de scientifiques ont contribués au développement de cette découverte, parmi eux Charles Fritts, Edward Weston, Nikola Tesla et Albert Einstein. Ce dernier, a obtenu le Prix Nobel en 1921pour ses travaux sur "l'effet photoélectrique", en prouvant que la lumière n'a pas qu'un caractère ondulatoire, mais que son énergie était supportée par des particules :les photons .L'évolution de l'industrie des semi-conducteurs dès la fin des années 50 du XX ème siècle, permit le développement technologique des cellules solaires . Ce n'est que dans les années 70 que les industriels commencent à investir dans la technologie

photovoltaïque. Des efforts de réduction des coûts de revient ont permis la généralisation de l'utilisation de l'énergie photovoltaïque. En 1973, fut construite la première maison alimentée par des cellules photovoltaïques par l'Université de Delaware .Dès les années 80, l'industrie photovoltaïque progressa régulièrement jusqu'à la réalisation des centrales électriques de plusieurs mégawatts .Depuis , l'énergie photovoltaïque s'est popularisée de par sa spectaculaire croissance, et notamment par son intégration dans la conception de nombreux produits d utilisation courante [1].[2].

I.3 Types d'énergies renouvelables:

- ➤ L'énergie solaire : L'énergie solaire est une source d'énergie renouvelable qui provient directement du rayonnement du soleil. Grâce à des technologies comme les panneaux photovoltaïques et les capteurs thermiques, cette énergie peut être convertie respectivement en électricité et en chaleur. L'un des avantages majeurs de l'énergie solaire est qu'elle est inépuisable à l'échelle humaine et ne produit pas de gaz à effet de serre lors de son exploitation, ce qui en fait une solution écologique face aux énergies fossiles. De plus, avec l'évolution des technologies et la baisse des coûts de production, l'énergie solaire devient de plus en plus accessible à travers le monde. Elle joue ainsi un rôle clé dans la transition énergétique et la lutte contre le changement climatique [3]
- ightharpoonup : L'énergie éolienne est une forme d'énergie renouvelable produite grâce à la force du vent. Elle est captée par des éoliennes qui transforment l'énergie cinétique du vent en électricité. Cette source d'énergie est propre, ne génère pas de pollution et contribue à réduire l'utilisation des énergies fossiles. L'énergie éolienne est aujourd'hui utilisée dans de nombreux pays pour diversifier les sources d'électricité et limiter les émissions de $CO_2[4]$.
- L'énergie hydraulique: L'énergie hydraulique est une source d'énergie renouvelable qui utilise la force de l'eau en mouvement, comme les rivières ou les barrages, pour produire de l'électricité. Grâce à des turbines et des alternateurs, l'énergie de l'eau est transformée en énergie électrique. C'est une énergie propre, fiable et largement utilisée dans le monde. Elle joue un rôle important dans la production d'électricité, notamment dans les régions disposant de ressources hydriques abondantes [5]
- ➤ La biomasse : La biomasse est une source d'énergie renouvelable issue de la matière organique, comme le bois, les déchets végétaux ou animaux. Elle peut être utilisée pour produire de la chaleur, de l'électricité ou des biocarburants. L'énergie provenant de la biomasse permet de valoriser les déchets tout en réduisant les émissions de gaz à effet de serre. C'est une solution intéressante pour diversifier les sources d'énergie et contribuer à la transition énergétique
- ➤ La géothermie : La géothermie est une énergie renouvelable qui exploite la chaleur provenant de l'intérieur de la Terre. Cette chaleur peut être utilisée pour produire de l'électricité ou pour chauffer des bâtiments. Elle est particulièrement efficace dans les régions volcaniques ou géologiquement actives. La géothermie est une énergie propre, continue et peu polluante, contribuant à la réduction des émissions de gaz à effet de serre.

I.3.1Avantages des énergies renouvelables:

Les énergies renouvelables offrent de nombreux avantages qui en font une solution essentielle pour l'avenir énergétique de la planète. Tout d'abord, elles sont inépuisables, car elles proviennent de sources naturelles comme le soleil, le vent, l'eau, la biomasse et la chaleur de la Terre. Contrairement aux énergies fossiles, elles ne risquent pas de s'épuiser. Ensuite, elles sont respectueuses de l'environnement, car leur utilisation ne produit pas ou très peu de gaz à effet de serre, ce qui limite les impacts négatifs sur le climat. Elles contribuent ainsi directement à la lutte contre le réchauffement climatique. De plus, le développement des énergies renouvelables permet de réduire la dépendance énergétique des pays vis-à-vis des ressources importées, renforçant ainsi leur autonomie énergétique. Sur le plan économique, ces énergies créent de nombreux emplois dans les domaines de la recherche, de la construction, de l'exploitation et de la maintenance. Enfin, elles favorisent un développement durable en préservant les ressources naturelles pour les générations futures. Grâce à tous ces avantages, les énergies renouvelables jouent aujourd'hui un rôle majeur dans la transition énergétique mondiale [6]

I.3.2 Défis des énergies renouvelables:

- A) *Intermittence de production*: certaines énergies (comme le solaire et l'éolien) dépendent des conditions météorologiques.
- **B**) Coût initial élevé: l'installation des infrastructures (panneaux solaires, éoliennes, barrages) demande un investissement important.
- C) Stockage de l'énergie: il est encore difficile et coûteux de stocker l'électricité produite pour l'utiliser en cas de besoin.
- **D)** Occupation de l'espace : certaines installations nécessitent de grandes surfaces (fermes solaires, parcs éoliens).
- *E) Impacts environnementaux locaux* : certains projets peuvent perturber les écosystèmes ou les paysages.
- F) Intégration au réseau électrique : adapter les réseaux existants à une production variable est un défi technique.
- *G)* Acceptation sociale : certains habitants refusent les projets près de chez eux (nuisances visuelles ou sonores).

H) Technologies encore en développement : certaines solutions, comme l'hydrogène vert ou le stockage massif, ne sont pas encore totalement matures. [7]

I.4 Généralités sur le soleil

I.4.1 Le rayonnement solaire

Le soleil est une étoile parmi tant d'autres. Il a un diamètre de 1390000 km, soit environ 50 fois celui de la terre. Il est composé à 80% d'hydrogène, 19% d'hélium et 1% d'un mélange de 100 éléments, soit pratiquement tous les éléments chimiques connus depuis que Langevin et Perrin, s'appuyant sur la théorie de la relativité d'Einstein, ont émis l'idée il y a une soixantaine d'années que c'est l'énergie de fusion nucléaire qui fournit au soleil sa puissance, il est aujourd'hui admis que le soleil est une bombe thermonucléaire hydrogène - hélium transformant chaque seconde 564 millions de tonnes d'hydrogène en 560 millions tonnes d'hélium, la réaction se faisant dans son noyau à la température d'environ 25 millions de degrés Celsius. Ainsi, à chaque seconde, le soleil est allégé de 4 millions de tonnes dispersées sous forme de rayonnement Sa lumière, à une vitesse de 300000km/s, met environ 8 minutes pour parvenir à la terre. Sa distribution spectrale de l'atmosphère présente un maximum pour une longueur d'onde d'environ 0.5 pm, la température de corps noir à la surface du soleil est d'environ 5780°k.

- ✓ Diamètre de soleil **Ds** =1.39*10° m
- ✓ Diamètre de la terre **Dt** =1.27*10⁷ **m**
- ✓ Distance moyenne soleil- terre Lts =1.5*10¹¹m
- ✓ Le rayonnement solaire est la matière première de l'énergie solaire. C'est une propagation d'une onde de longueur qui varie entre 0.2 et 4*10⁻⁶m .sans la nécessite d'un support physique pour se déplacer, il arrive au sol après la perte d'une grande partie de son intensité, à cause d'une partie de l'ultraviolet, qui s'absorbent. [8]

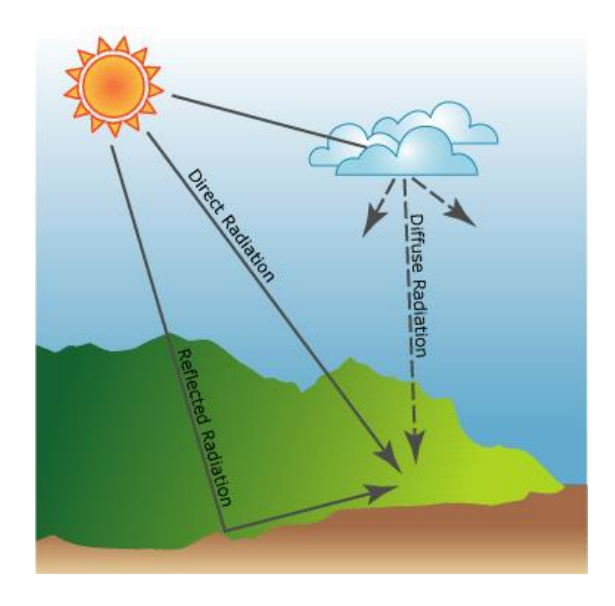


Figure (I.1): Composants du rayonnement solaire

I.4.2. L'intensité du rayonnement solaire

- ✓ Latitude : plus on est proche de l'équateur, plus l'intensité est élevée.
- ✓ **Saison** : l'intensité varie selon les saisons à cause de l'inclinaison de la Terre.
- ✓ Moment de la journée : maximale à midi solaire, minimale le matin et le soir.
- ✓ Conditions météorologiques : les nuages, la poussière ou la pollution réduisent l'intensité.
- ✓ **Altitude** : plus on est en altitude, plus l'intensité augmente.
- ✓ Valeur maximale théorique : environ 1361 W/m² (constante solaire) à l'extérieur de l'atmosphère.
- ✓ Valeur moyenne au sol : entre 1000 W/m² (par temps clair) et beaucoup moins par temps nuageux.
- ✓ **Importance** : l'intensité du rayonnement solaire détermine la quantité d'énergie électrique qu'un panneau photovoltaïque peut produire.

Le rayonnement solaire qui atteint la surface terrestre se compose principalement de trois types. Le premier est le *rayonnement direct*, qui désigne l'énergie solaire arrivant directement du soleil, sans déviation ni dispersion. Ensuite, on trouve le *rayonnement diffus*, qui correspond à la partie du rayonnement solaire ayant été dispersée par l'atmosphère avant d'atteindre le sol. Même par temps nuageux, une partie de cette énergie parvient à la surface grâce à ce phénomène. Enfin, le *rayonnement réfléchi* est celui qui est renvoyé par des surfaces claires ou brillantes comme la neige, l'eau ou certaines structures artificielles. L'ensemble de ces rayonnements forme ce qu'on appelle le *rayonnement global*. Ces différentes composantes

jouent un rôle important dans la production d'énergie solaire et dans l'équilibre énergétique de la Terre

I.4.3 Rayonnement direct

Le rayonnement direct est le rayonnement reçu directement du Soleil, sans diffusion par L'atmosphère. Il peut être mesuré par un pyrhéliomètre. Ses rayons sont parallèles entre eux, il forme donc des ombres.

I.4.4 Rayonnement diffus

Le rayonnement diffus (Dh) est le rayonnement émis par des obstacles (nuages, sol, bâtiments) et provient de toutes les directions, Il est constitué par la lumière diffusée par l'atmosphère (air, nébulosité, aérosols). Il peut être mesuré par un pyranomètre avec écran masquant le soleil.

I.4.5 Rayonnement solaire réfléchi

C'est le rayonnement qui est réfléchi par le sol ou par des objets se trouvant à sa surface. Cet albédo peut être important lorsque le sol est particulièrement réfléchissant (eau, neige).

I.4.6 Rayonnement global

Le rayonnement global est le rayonnement émis par le soleil incident sur un plan donné, et c'est la somme du rayonnement direct et diffus, il est mesuré par un Pyranomètre ou un Solarimètre sans écran. Les stations météorologiques généralement mesurent le rayonnement global horizontal par un Pyranomètre placé horizontalement à l'endroit requis .

I.4.7 Les panneaux solaires

Les panneaux solaires sont des dispositifs conçus pour capter l'énergie du soleil et la transformer en électricité ou en chaleur. Les plus courants sont les panneaux photovoltaïques, qui convertissent directement la lumière en électricité grâce à des cellules en silicium. Ils sont utilisés sur les toits des maisons, dans les centrales solaires ou pour alimenter des équipements autonomes. Les panneaux solaires permettent de produire une énergie propre et renouvelable, contribuant ainsi à la transition énergétique et à la protection de l'environnement.

I.5 Spectre du rayonnement

Le rayonnement électromagnétique est composé de « grains » de lumière appelés photons. L'énergie de chaque photon est directement liée à la longueur d'onde.

L'énergie de chaque photon est donnée par la formule suivante :

$$\mathbf{E} = HV = HCX \tag{I.1}$$

Le spectre du rayonnement extraterrestre correspond environ à l'émission d'un corps noir porté

à 5800° K. Une courbe standard, compilée selon les données recueillies par les satellites, est désignée sous le nom d'AM0. Sa distribution en énergie est répartie en :

Ultraviolet **UV 0.20 < 1 < 0.38 mm 6.4%**

Visible 0.38 < 1 < 0.78 mm 48.0%

Infrarouge IR 0.78 < 1 < 10 mm 45.6%

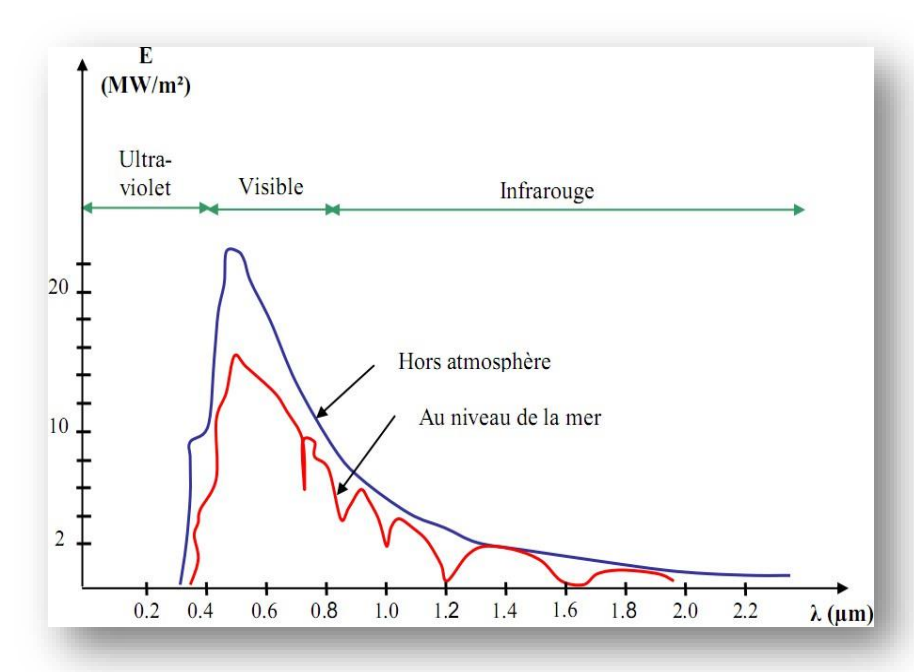


Figure (I.2): Le spectre solaire hors atmosphère

I.6 Cellule photovoltaïque

I.6.1 Cellule solaire

Les cellules photovoltaïques sont des dispositifs semi-conducteurs qui convertissent directement la lumière du soleil en électricité grâce à l'effet photovoltaïque. Composées principalement de silicium (dans plus de 90% des cas), ces cellules exploitent les propriétés des matériaux semi-conducteurs, intermédiaires entre les conducteurs et les isolateurs. Leur fonctionnement repose sur la création de paires électron-trou lorsque les photons solaires excitent les électrons de la bande de valence. Une jonction PN, formée par le dopage de couches de silicium (type P au bore et type N au phosphore), crée un champ électrique interne qui sépare ces charges, générant ainsi une tension électrique. La face avant (type N) est équipée d'une grille métallique collectrice, tandis que la face arrière (type P) dispose d'un contact métallique complet. En connectant plusieurs cellules en série ou en parallèle, on obtient un module photovoltaïque capable de produire une puissance électrique utilisable. Ce processus de conversion d'énergie propre et renouvelable

explique le développement rapide de cette technologie pour les applications terrestres et spatiales. [9]

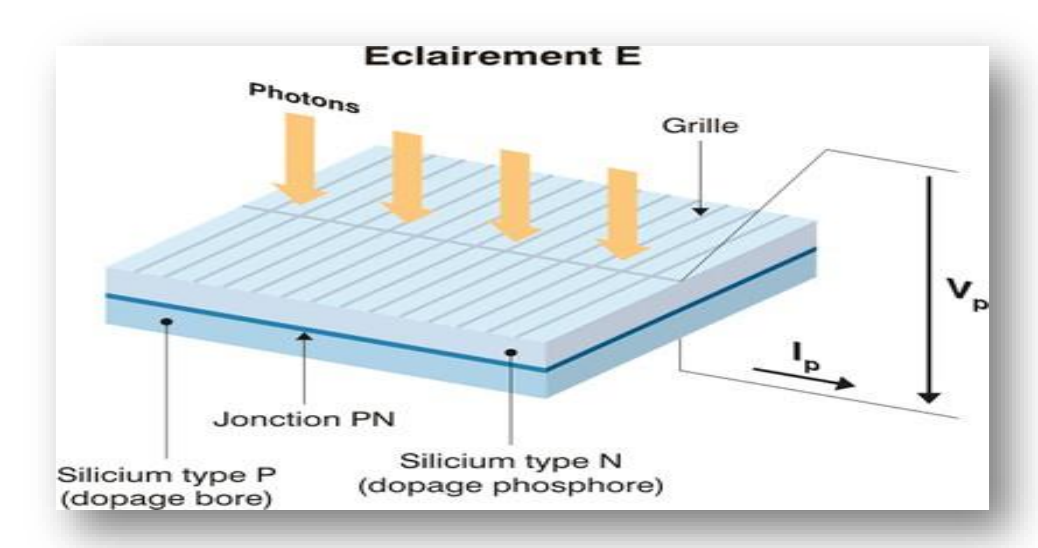


Figure (I.3) : Structure d'une cellule photovoltaïque utilisant de silicium commematériau PV (présence d'une jonction PN)

I.6.2 Caractéristiques électriques d'une cellule photovoltaïque

Sous un éclairement donné, toute cellule photovoltaïque est caractérisée par une courbe courant-tension (I_{pv} - V_{pv}) et par une courbe tension-puissance (P_{pv} - V_{pv}). Trois grandeurs physiques définissent ces caractéristiques :

✓ La tension à vide : V_{co} (tension en circuit ouvert). Cette valeur représente la tension générée par une cellule éclairée non raccordée.

✓ Le courant de court-circuit: I_{cc} . Cette valeur représente le courant généré par une cellule éclairée raccordée à elle-même.

✓ Le Point de Puissance Maximal: PPM obtenu pour une tension et un courant optimaux : V_{opt} , I_{opt} (parfois appelés aussi V_{ppm} , I_{ppm}).

I.6.3 Rendement énergétique

C'est le rapport entre la puissance électrique maximale fournie par la cellule P_{max} (I_{opt} , V_{opt}) et la puissance solaire incidente. Il est donné par :

$$\eta = \frac{Pmax}{Pinc} + \frac{Iopt\ vopt}{Pinc} \quad (I.2)$$

Avec P_{inc} est égale au produit de l'éclairement et de la surface totale des photopiles. Ce

paramètre reflète la qualité de conversion de l'énergie solaire en énergie électrique.

Les cellules photovoltaïques possèdent des caractéristiques électriques spécifiques qui déterminent leur performance. Parmi ces caractéristiques, on retrouve la tension à vide, qui correspond à la tension maximale délivrée lorsque le circuit est ouvert, et le courant de court-circuit, qui est le courant maximal obtenu lorsque la cellule est en court-circuit. La puissance maximale correspond au point de fonctionnement optimal où la cellule fournit le maximum d'énergie. Le rendement énergétique est un paramètre essentiel qui mesure la capacité de la cellule à convertir le rayonnement solaire en électricité. Plus ce rendement est élevé, plus l'installation photovoltaïque est efficace pour produire de l'énergie propre

I.7. Avantages et inconvénients d'énergie photovoltaïque

I.7.1 Les Avantages:

Le soleil est une source d'énergie propre et renouvelable, qui ne produit ni le gaz ni de déché toxique par son utilisation.

Le processus photovoltaïque est complètement à semi-conducteurs et d'un seul bloc. Il n'y a aucune pièce mobile et aucun matériau n'est consommé ou émis. Pas de pollution, ni émissions ou odeurs discernables.

Ils peuvent être des systèmes autonomes qui actionnent sûrement sans surveillance pendant de longues périodes. Grande fiabilité. Ils peuvent être combinés avec d'autres sources d'énergies pour

augmenter la fiabilité du système. Ils n'exigent aucun raccordement à une source d'énergie ou à un approvisionnement en carburant existant].

I.7.2 Les inconvénients :

Le cout d'investissement des panneaux photovoltaïques est élevé. Le rendement réel de conversion d'un module est faible, ou émis. Lorsque le stockage de l'énergie électrique par des batteries est nécessaire, le coût du système photovoltaïque augmente. Les panneaux contiennent des produits toxiques et la filière de recyclage n'existe pas encore. Le rendement électrique diminue avec le temps .

I.8.Potentiel solaire en Algérie

L'Algérie bénéficie d'une position géographique privilégiée qui lui offre l'un des plus importants gisements solaires au monde. Le territoire national connaît une durée d'ensoleillement exceptionnelle, variant entre 2000 et 3900 heures par an selon les régions, avec un maximum dans les Hauts Plateaux et le Sahara.

En termes de potentiel énergétique, les données sont particulièrement significatives :

- L'énergie solaire quotidienne reçue sur 1 m² de surface horizontale atteint en moyenne 5 kWh
- Le cumul annuel s'élève à environ 1700 kWh/m² dans le nord du pays
- Cette valeur atteint 2263 kWh/m² dans les régions méridionales

Le Sahara algérien représente particulièrement un formidable réservoir d'énergie solaire dont l'exploitation rationnelle pourrait constituer un levier majeur pour le développement durable. Cette abondante ressource naturelle, si elle est valorisée par des technologies appropriées, offre des perspectives prometteuses pour la production d'énergie propre et renouvelable à l'échelle nationale Données spécifiques sur le taux d'ensoleillement par région algérienne. [10]

Régions	Régions côtières	Hauts plateaux	Sahara
Superficie	4%	10%	86%
Durée moyenne d'ensoleillement (Heures=an)	2650	3000	3500
Energie moyenne reçue (KWh/m2/an)	1700	1900	2650

Tableau (I.1): Taux d'ensoleillement pour chaque région de l'Algérie.

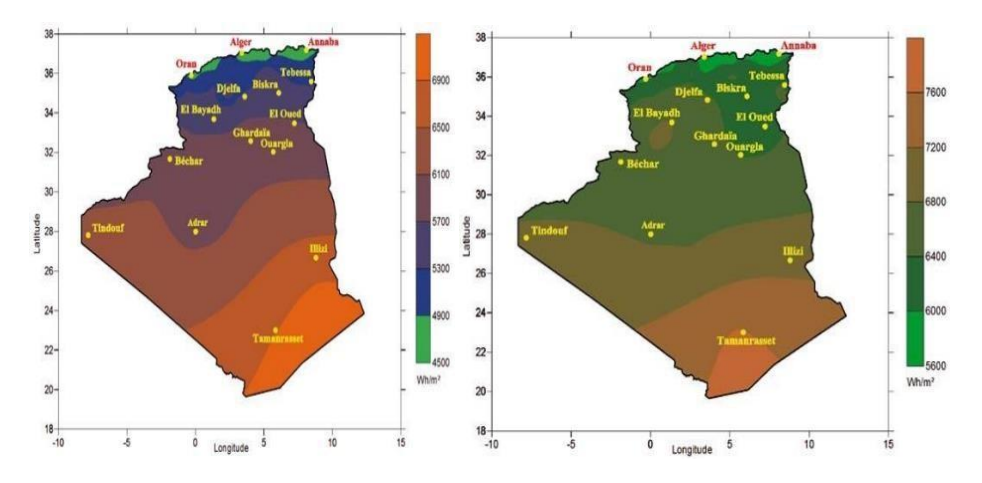


Figure (I.4): La moyenne annuelle de l'irradiation globale en Algérie période 1992-2002

I.8.1 La future d'énergie solaire photovoltaïque en Algérie :

L'Algérie s'engage avec détermination sur la voie des énergies renouvelables afin d'apporter des solutions globales et durables aux défis environnementaux et aux problématiques de préservation des ressources énergétiques d'origine fossile.

Ce choix stratégique est motivé par l'immense potentiel en énergie solaire. Cette énergie constitue l'axe majeur du programme qui consacre au solaire thermique et au solaire photovoltaïque une part essentielle. Le solaire devrait atteindre d'ici 2030 plus de 37% de la production nationale d'électricité.

Le programme des énergies renouvelables est défini ainsi pour les différentes phases : D'ici 2020, il est attendu l'installation d'une puissance totale d'environ de 600 MW pour le marché national et une possibilité d'exportation de l'ordre de 2 000 MW ; D'ici 2030, il est prévu l'installation d'une puissance de près de 12000 MW pour le marché national ainsi qu'une possibilité d'exportation allant jusqu'à 10 000 MW.

I.9 Conclusion

Ce chapitre introductif a dressé un panorama complet des systèmes photovoltaïques, depuis leurs fondements scientifiques jusqu'à leur contexte d'application en Algérie. L'analyse a révélé que cette technologie, bien qu'ayant connu un développement remarquable depuis sa découverte au XIXe siècle, présente encore des marges de progression significatives.

Le cas algérien apparaît particulièrement emblématique : doté d'un ensoleillement exceptionnel (jusqu'à 2650 kWh/m²/an dans les régions sahariennes), le pays possède tous les atouts pour devenir un acteur majeur de l'énergie solaire. Cependant, cette opportunité se heurte à des défis techniques, notamment concernant l'optimisation du rendement énergétique et la gestion de l'intermittence de production.

Les caractéristiques électriques des cellules photovoltaïques, particulièrement sensibles aux variations d'irradiance et de température, soulignent la nécessité d'une modélisation fine de leur comportement. C'est précisément l'objet du chapitre suivant, qui exploreront les différentes approches de modélisation pour aboutir à des systèmes plus performants et mieux intégrés dans le mix énergétique.

En définitive, ce chapitre a permis d'établir que le photovoltaïque constitue une pièce maîtresse de la transition énergétique, mais que son déploiement optimal nécessite encore des avancées technologiques, notamment dans le domaine de la modélisation et du suivi de point de puissance

maximale. Ces éléments justifient pleinement les développements théoriques et pratiques qui feront l'objet des prochains chapitres.

CHAPITRE 02 Principes et Méthodes de Modélisation Photovoltaïque

II.1. Introduction:

La conversion photovoltaïque de l'énergie solaire en électricité repose sur des phénomènes physiques complexes au niveau des matériaux semi-conducteurs. Les performances d'un panneau photovoltaïque sont fortement influencées par des paramètres environnementaux (irradiance, température, spectre lumineux) ainsi que par des facteurs internes tels que la qualité des matériaux, leur vieillissement, et les conditions d'installation.

Afin de concevoir des systèmes photovoltaïques performants, de diagnostiquer les défauts, et de développer des algorithmes de suivi du point de puissance maximale (MPPT), une modélisation précise du comportement électrique des panneaux est indispensable.

Ce chapitre se propose de présenter et d'analyser ces différentes approches de modélisation, en mettant en évidence leurs principes, leurs avantages et leurs limites respectives.

II.2 Caractéristiques de la cellule photovoltaïque

la courbe de la figure (II.1) montre que les caractéristiques non linéaires d'une cellule solaire dépendent notamment des conditions d'ensoleillement et de température.

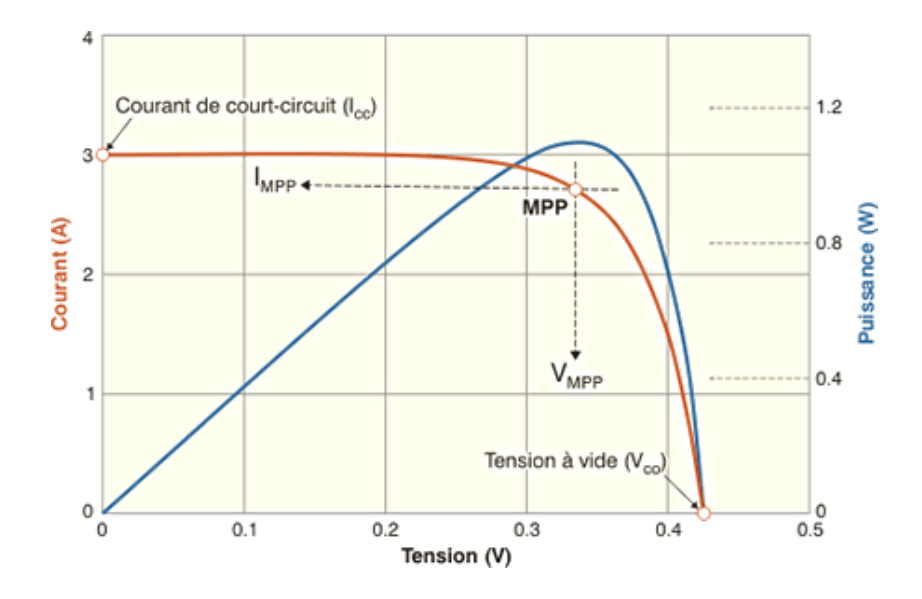


FIGURE II.1: Les caractéristiques courant-tension et puissance-tension

Cette caractéristique peut être divisée en trois intervalles différents :

- A) Intervalle I : la cellule solaire est considérée comme une source de courant. Par conséquent, le courant est constant et la tension est variable.
- **B)** Intervalle II : le coude correspondant à la caractéristique, la zone médiane entre les deux zones suivantes, représentant la zone d'opération préférée. Le générateur peut déterminer le meilleur point (caractérisé par une puissance maximale).
- C) Intervalle III : l'intervalle de temps où la cellule solaire est considérée comme la source Tension, car la tension est constante et le courant est variable.

Cependant d'autres grandeurs décrivent le fonctionnement de la cellule photovol- taïque :

- **D**) Le courant maximal (Icc) : C'est le courant maximum possible du circuit à tension nulle (les bornes de la cellule en court-circuit). Il est proportionnel à l'intensité lumineuse disponible et lié à la surface éclairée, au spectre de rayonnement solaire et à la température.
- E) Tension de circuit ouvert (Vco) : Lorsqu'il n'y a pas de courant dans le circuit externe, la tension de circuit ouvert Vco est la tension générée par l'ensoleillement, par accumulation de charge.
- F) Point a puissance maximale (MPP): L'objectif poursuivi par tout utilisateur d'un générateur photovoltaïque est que l'énergie produite soit la plus optimale possible. Le point PPPM représente le point où la puissance des cellules solaires est à son maximum. Ce point de puissance maximale, est lié à la tension maximale VPPM et à l'intensité de courantoptimal IPPM.

$$P_{PPM} = V_{PPM} \times I_{PPM}$$
 (II.1)

Le point fonctionnement du générateur est défini par l'intersection de sa caractéristique électrique avec celle de la charge. Seule une charge dont la caractéristique passe par ce point permet d'en extraire la puissance optimale disponible dans les conditions considérées. L'impédance statique optimale de charge est donnée par la relation :

CHAPITRE II

$$R_{opt} = \frac{\text{VPPM}}{Ippm}$$
 (II.2)

Etant donné que la puissance dépend totalement de l'éclairement et de la température, il en est de même de l'impédance de charge maximale.

L'utilisation optimale du générateur consiste à ce que l'impédance de charge conserve à chaque instant les valeurs optimales R_{opt} , lorsque les conditions varient.

G) Facteur de forme FF: Un paramètre important de la caractéristique $I_{pv}(V)$ est utilisé pour déterminer la qualité de la cellule photovoltaïque ou du GPV: il s'agit du facteur de remplissage ou du fill factor (FF). Ce coefficient représente le rapport entre la puissance maximale PPPM qu'une cellule peut fournir et la puissance formée par le rectangle $I_{cc} \times V_{co}$. Plus la valeur de ce facteur est élevée, plus la puissance exploitable est grande.

$$FF = \frac{Pppm}{Icc \times Vco}$$
 (1I.3)

H) Le rendement de conversion : Le rendement de conversion est le paramètre le plus important dans la cellule solaire. Il exprime la capacité de la cellule à convertir efficacement les photons de la lumière incidente en courant électrique. Il est calculé par le rapport entre la puissance de sortie Pout et la puissance d'entrée de la cellule Pin (puissance d'éclairement solaire incident).

$$\eta = \frac{Pout}{Pin} \equiv \frac{Icc \times Vco \times FF}{Pin}$$
 (II.4)

 P_{out} : la puissance de sortie de la cellule [W]

 P_{in} : la puissance d'entrée de la cellule [W]

 V_{co} : Tension de circuit ouvert [V]

 I_{cc} : Courant maximal [A]

En général, le rendement global, défini comme étant le rapport de l'énergie électrique produite et de l'énergie lumineuse incidente, varie pratiquement de 10 à 17% selon le type de la cellule. D'autres paramètres peuvent affecter les performances du module.

I) L'Inclinaison du panneau : selon différents angles d'inclinaison Horizontale (0°) et verticale (90°), lorsque le panneau se tourne vers le ciel (soleil zénithal), les rayons du soleil

sont perpendiculaires au panneau.

J) L'effet d'ombre : toutes les unités sont connectées en série, il suffit qu'une seule unité soit placée dans l'ombre pour réduire la puissance considérablement.

II.2.1 Impact des facteurs environnementaux sur les modules photovoltaïques

Les performances des systèmes photovoltaïques sont étroitement liées aux conditions environnementales, principalement caractérisées par deux paramètres clés : l'éclairement solaire et la température ambiante. Cette section analyse de manière approfondie leurs effets sur le comportement électrique des modules PV.

A) Effet de l'éclairement solaire

L'éclairement solaire, ou irradiance, représente la puissance du rayonnement solaire reçue par unité de surface, généralement exprimée en W/m². Il s'agit d'un paramètre fondamental dans le fonctionnement des systèmes photovoltaïques, car il influence directement la quantité d'énergie électrique produite par une cellule solaire. Plus l'éclairement est élevé, plus le courant généré par la cellule est important, ce qui augmente la puissance de sortie. En revanche, une baisse de l'irradiance, due par exemple à la couverture nuageuse, à l'ombre ou à des variations saisonnières, entraîne une diminution de la production électrique. Ainsi, l'éclairement solaire est un facteur déterminant pour évaluer les performances des systèmes photovoltaïques et optimiser leur rendement énergétique.

B) Courant de court-circuit (I_{cc})

Le courant de court-circuit, noté I_{cc} correspond à l'intensité maximale délivrée par une cellule photovoltaïque lorsque ses bornes de sortie sont directement reliées entre elles, c'est-à-dire lorsque la tension est nulle (V = 0). Il est principalement influencé par l'éclairement solaire : plus l'irradiance augmente, plus I_{cc} augmente proportionnellement. En revanche, la température a un effet modéré mais généralement négatif sur ce courant. I_{cc} est un paramètre essentiel pour caractériser une cellule photovoltaïque, car il permet d'évaluer sa capacité à générer du courant sous des conditions optimales d'ensoleillement. Toutefois, il ne représente pas le courant réellement exploitable, car la puissance maximale est obtenue à un point de fonctionnement

spécifique (Point de Puissance Maximale - MPP) où la tension n'est pas nulle

C) Tension en circuit ouvert (Vco)

La tension en circuit ouvert, notée V_{co} est la tension maximale délivrée par une cellule photovoltaïque lorsque le circuit est ouvert, c'est-à-dire lorsque aucun courant ne circule (I = 0). Ce paramètre dépend principalement de la nature du matériau semi-conducteur utilisé et de la température de fonctionnement. Contrairement au courant de court-circuit, V_{co} diminue lorsque la température augmente, ce qui affecte négativement le rendement global de la cellule. L'éclairement solaire a également une influence, mais dans une moindre mesure que sur le courant. La connaissance de V_{co} est essentielle pour la conception des systèmes photovoltaïques, car elle permet d'estimer la tension maximale pouvant être atteinte et de dimensionner correctement les convertisseurs ou les régulateurs associés.

D) Impact de la température

La température a un effet significatif sur les performances des cellules photovoltaïques. En général, lorsque la température augmente, la tension de sortie des cellules diminue, ce qui entraîne une réduction de la puissance maximale produite. Cette baisse de performance est principalement due à l'augmentation de l'agitation thermique des électrons dans le matériau semi-conducteur, ce qui perturbe le processus de conversion de l'énergie lumineuse en énergie électrique. À l'inverse, le courant généré peut légèrement augmenter avec la température, mais cet effet reste insuffisant pour compenser la perte de tension. Ainsi, un fonctionnement à température élevée réduit globalement le rendement des modules photovoltaïques. C'est pourquoi le contrôle thermique et la ventilation des installations photovoltaïques sont essentiels, notamment dans les régions chaudes.

E) Tension en circuit ouvert (Voc)

La tension en circuit ouvert, notée V_{oc} représente la tension maximale fournie par une cellule photovoltaïque lorsque le circuit est ouvert, c'est-à-dire en absence de charge électrique (I = 0). Elle reflète la capacité du générateur photovoltaïque à générer une force électromotrice sous un éclairement donné. V_{oc} est directement liée aux caractéristiques du matériau semiconducteur utilisé, ainsi qu'à l'irradiance. Toutefois, c'est principalement la température qui influence cette tension : lorsque la température augmente, V_{oc} diminue en raison de

l'augmentation des recombinaisons de porteurs de charge au sein du matériau. Cette diminution de tension impacte négativement le rendement global du système photovoltaïque. Ainsi, V_{oc} est un paramètre clé pour le dimensionnement et le suivi des performances d'un générateur solaire

F) Courant de court-circuit (Icc)

Le courant de court-circuit, noté I_{cc} , correspond au courant maximal généré par une cellule photovoltaïque lorsque ses bornes sont directement reliées entre elles, c'est-à-dire lorsque la tension est nulle (V = 0). Ce paramètre est directement proportionnel à l'éclairement reçu : plus l'irradiance est élevée, plus I_{cc} augmente. En revanche, l'augmentation de la température a un effet légèrement positif sur ce courant, mais cet impact reste faible par rapport à celui de l'éclairement. Le courant de court-circuit est donc un indicateur important de la capacité de la cellule à produire du courant sous un ensoleillement donné. Toutefois, il ne représente pas le courant optimal pour la production d'énergie, car la puissance maximale est obtenue à un point spécifique (Point de Puissance Maximale - MPP), où tension et courant sont optimisés conjointement.

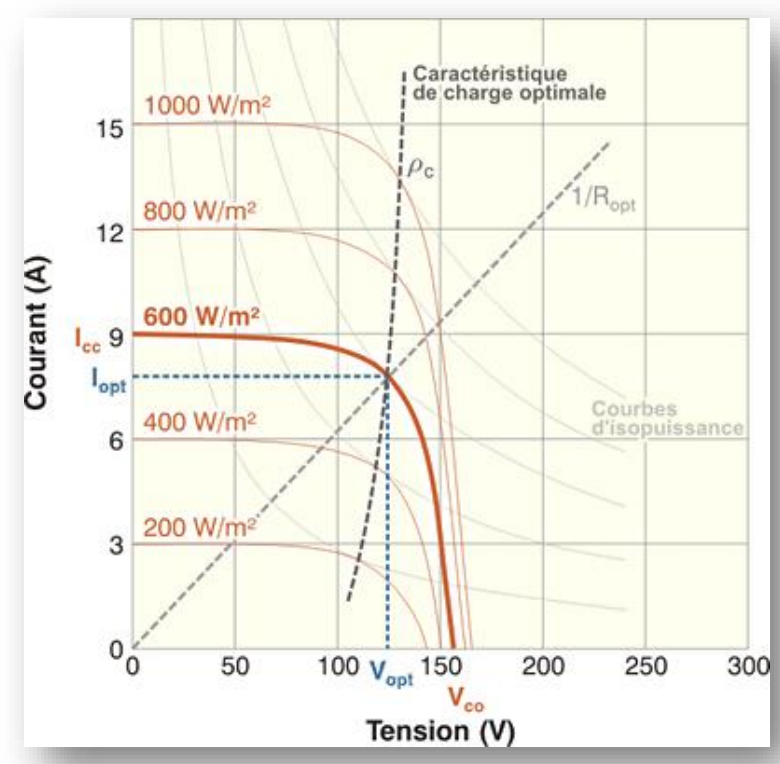


FIGURE II.2 : Influence de l'éclairement sur la caractéristique I-V protect

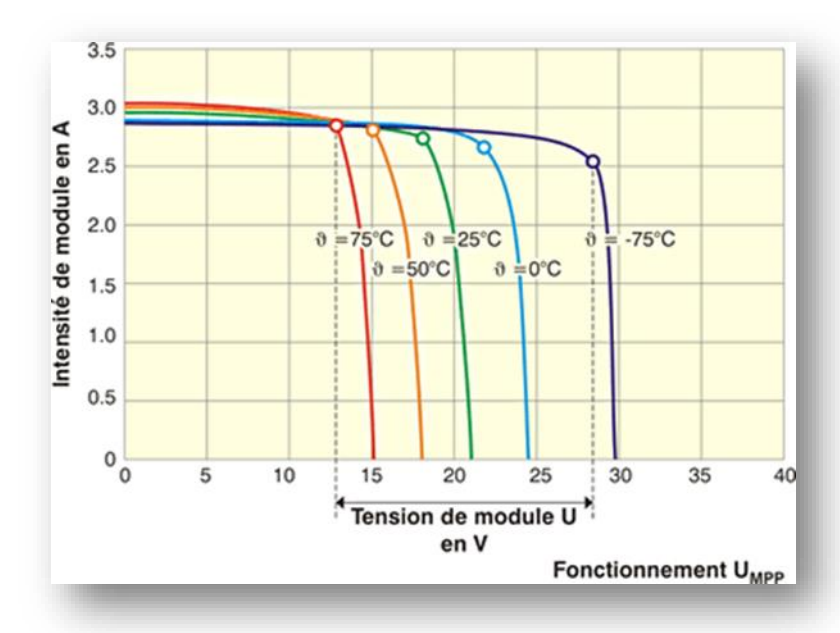


FIGURE II.3 :Influence de la température sur la caractéristique I-V

II.3 Modélisation d'une cellule photovoltaïque :

La modélisation d'une cellule photovoltaïque joue un rôle central dans l'analyse, la prédiction et l'optimisation des performances des systèmes solaires. Elle permet de reproduire le comportement électrique non linéaire de la cellule en fonction de l'irradiance, de la température et des conditions de charge. Plusieurs approches de modélisation ont été développées au fil des années, que l'on peut regrouper en troi grandes modèles.

- ✓ **Les modèles physiques**, basés sur la théorie des semi-conducteurs, notamment les modèles à diodes, qui visent à reproduire le comportement électrique réel des cellules à partir de lois physiques fondamentales.
- ✓ Les modèles empiriques, construits à partir d'un ajustement statistique des courbes expérimentales mesurées.
- ✓ Les modèles numériques, exploitant des techniques d'intelligence artificielle telles que les réseaux de neurones pour prédire les performances du système à partir de données d'entrée mesurées. [11]

II.4 Modèles physiques

Après avoir présenté le principe de conversion photovoltaïque ainsi que les caractéristiques électriques fondamentales d'une cellule solaire, nous abordons dans cette section les modèles

physiques, qui permettent de représenter le comportement électrique d'une cellule photovoltaïque de manière analytique.

Ces modèles, également appelés modèles à diodes, reposent sur l'équivalent électrique de la cellule et s'appuient sur les lois de la physique des semi-conducteurs. Leur but est de reproduire la relation courant-tension (I-V) observée expérimentalement, en prenant en compte les phénomènes de génération de courant, de recombinaison, et de pertes internes.

Les deux variantes les plus courantes sont :

- ✓ Le modèle à une diode, le plus utilisé pour sa simplicité et sa précision acceptable.
- ✓ Le modèle à deux diodes, qui introduit des mécanismes de recombinaison supplémentaires pour une meilleure précision.

Nous détaillons dans ce qui suit la structure et les équations associées à ces modèles.

II.4.1 Modèle à une diode

Le modèle à une diode est le plus couramment utilisé pour représenter électriquement le comportement d'une cellule photovoltaïque. Il repose sur un schéma équivalent simplifié, mais suffisamment précis pour de nombreuses applications.

> Schéma électrique

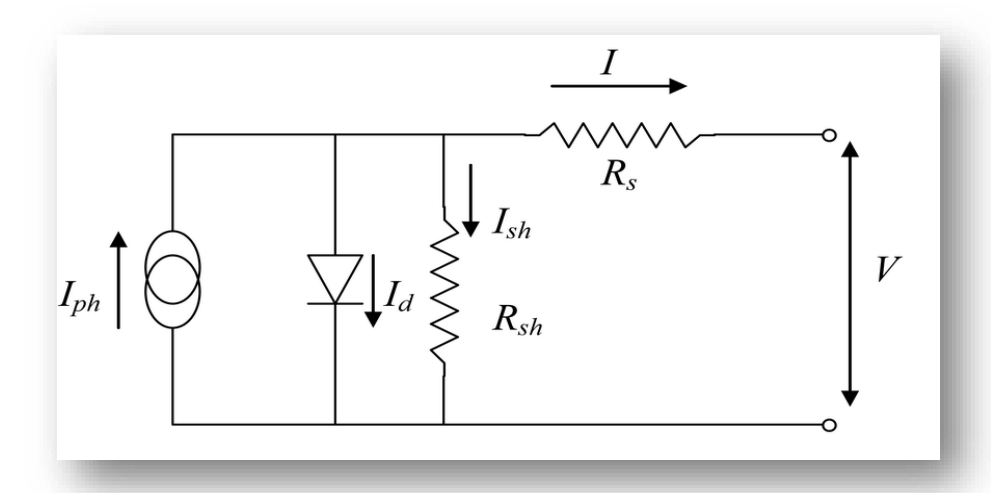


FIGURE II.4: Modèle à une diode

Le modèle électrique d'une cellule photovoltaïque repose généralement sur un schéma équivalent comprenant plusieurs éléments. Tout d'abord, une source de courant I_{ph} représente le courant photogénéré, proportionnel à l'intensité de l'éclairement lumineux incident. Ce

courant est ensuite associé à une diode idéale, caractérisée par un courant de saturation I_0 et un facteur d'idéalité n_0 permettant de modéliser le comportement non linéaire de la jonction PN du semi-conducteur. À ces éléments s'ajoutent deux résistances parasites: une résistance série R_s qui modélise les pertes ohmiques dues aux contacts métalliques et à la résistivité interne du matériau, et une résistance parallèle R_{sh} qui traduit les fuites de courant au sein de la jonction. Ces éléments combinés permettent de reproduire fidèlement le comportement électrique réel de la cellule photovoltaïque, en tenant compte à la fois des pertes internes et des phénomènes physiques intrinsèques au matériau. [12]

> Équation caractéristique

La relation courant-tension est donnée par l'équation suivante :

$$I = I_{ph} - (1 - exp^{\frac{V_s + I.R}{V_t \cdot n}})I_0 - \frac{I.R + V_s}{R_{sh}}$$
 (II .5)

La tension thermique V_t est définie par l'expression $V_t = \frac{K.T}{q}$, où k représente la constante de Boltzmann, T est la température absolue exprimée en kelvins, et q désigne la charge élémentaire de l'électron. Cette grandeur joue un rôle important dans les équations des dispositifs semi-conducteurs, notamment dans le comportement des cellules photovoltaïques. Par ailleurs, le courant de saturation inverse I_0 est une grandeur qui dépend fortement de la température, augmentant de manière exponentielle avec cette dernière. Enfin, le facteur d'idéalité n, généralement compris entre 1 et 2, reflète les phénomènes de recombinaison internes à la jonction et permet d'ajuster le modèle pour une meilleure correspondance avec les caractéristiques réelles du composant.

II .4.2 Modèle à deux diodes

Afin de mieux représenter les mécanismes internes de recombinaison qui se produisent dans une cellule photovoltaïque, le modèle à deux diodes a été introduit comme une extension du modèle à une diode. Ce modèle offre une description plus fine des pertes internes en distinguant deux types principaux de recombinaison. La première, dite recombinaison dans le volume (bulk), se produit à l'intérieur du matériau semi-conducteur, loin des interfaces. La seconde concerne la recombinaison de surface ou d'interface, qui a lieu au niveau des jonctions ou des couches de passivation. Chacun de ces phénomènes est modélisé par une diode distincte, possédant son propre courant de saturation et facteur d'idéalité. Cette approche permet de mieux

adapter la modélisation aux cellules à haut rendement ou aux technologies avancées, où les mécanismes de recombinaison sont plus complexes et influencent fortement les performances globales.

> Schéma électrique

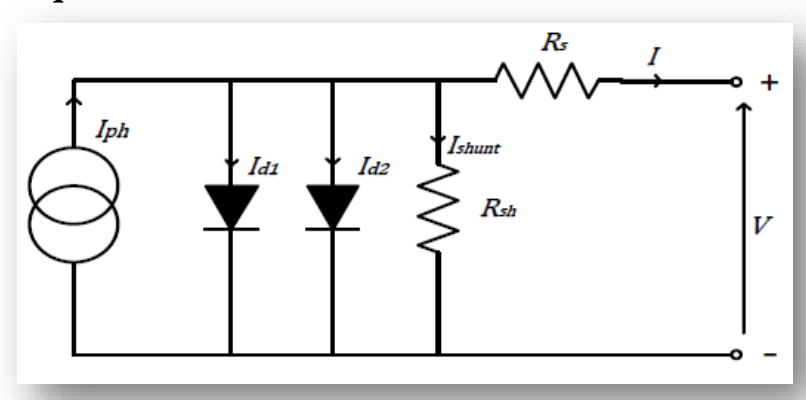


FIGURE II.5: Modèle à deux diode

Le modèle à deux diodes constitue une approche plus précise pour représenter le comportement électrique d'une cellule photovoltaïque, notamment en tenant compte des mécanismes complexes de recombinaison des porteurs de charge. Il comprend une source de courant I_{ph} , qui modélise le courant généré par la lumière incidente. Ce courant est associé à deux diodes montées en parallèle, chacune caractérisée par un courant de saturation et un facteur d'idéalité $n_1; n_2$. Ces deux diodes permettent de distinguer les différentes contributions aux recombinaisons: l'une pour les recombinaisons dans la région de déplétion et l'autre pour celles dans le volume du matériau. À ce schéma s'ajoutent une résistance série (R_s) , représentant les pertes ohmiques dans les contacts et le semi-conducteur, et une résistance parallèle $(R_{sh}.)$, modélisant les fuites de courant au niveau de la jonction. Ce modèle est particulièrement utilisé lorsque l'on cherche une modélisation plus fidèle des performances réelles des cellules photovoltaïques, notamment sous faibles éclairements ou à des températures élevées [13]

> Équation caractéristique

$$I = I_{ph} - \left(1 - exp^{\frac{R.I + V_s}{V_t n_1}}\right) I_{01} - \left(1 - exp^{\frac{R.I + V_s}{V_t n_2}}\right) - \frac{R.I + V_s}{R_{sh}}$$
 (II.6)

Les courants I_{01} et I_{02} représentent respectivement les courants de recombinaison dans le volume de la cellule et à sa surface. Ils sont associés à deux diodes distinctes dans le modèle équivalent de la cellule photovoltaïque. Les facteurs d'idéalité correspondants sont

généralement $n_1 \approx 1$ approx $n_2 \approx 2$, caractérisant les recombinaisons dans le volume, et $n_1 \approx 1$ approx $n_2 \approx 2$, correspondant aux recombinaisons en surface. D'autre part, la résistance série R_s influence principalement la pente de la courbe courant-tension (I-V) à haute tension, tandis que la résistance parallèle R_{sh} affecte la pente à basse tension, traduisant les pertes par courants de fuite dans le dispositif.

II .4.3 Méthodes d'identification des paramètres

L'identification des paramètres dans les modèles physiques des cellules photovoltaïques, notamment dans le modèle à deux diodes, constitue une étape cruciale pour reproduire fidèlement le comportement électrique réel d'un panneau. Les paramètres à estimer sont généralement :

$$\{I_{sh}; I_{ph}; I_{01}; I_{02}; n_1; n_2; R_s; R\} = \theta$$
 (II.7)

Le modèle courant-tension étant fortement non linéaire, il n'existe pas de solution analytique directe. L'identification des paramètres se formule alors comme un problème d'optimisation non linéaire visant à minimiser l'écart entre les mesures expérimentales $\binom{mes}{i}Vi;I)$ et la réponse du modèle $I(V_i,\theta)$ L'objectif est de minimiser la fonction coût suivante :

$$v^2(I_i^{mes} - I(V_i; \theta)) \sum_{i=1}^{N} min_{\theta}$$
 (II.8)

Pour résoudre ce problème, plusieurs méthodes peuvent être utilisées, que l'on peut regrouper en deux grandes familles : les méthodes classiques et les méthodes évolutionnaires.

A) Méthodes classiques

Ces méthodes reposent sur les moindres carrés non linéaires, comme :

- ✓ Levenberg-Marquardt (LM) : une méthode itérative qui combine les avantages de la descente du gradient et de Gauss-Newton. Elle est très utilisée en raison de sa rapidité et de sa capacité à converger rapidement, à condition d'avoir une bonne estimation initiale des paramètres.
- ✓ **Gauss-Newton** : adaptée aux modèles faiblement non linéaires.
- ✓ **Méthodes de gradient** : utilisent les dérivées partielles de la fonction objectif.

Cependant, ces techniques sont souvent sensibles aux conditions initiales et peuvent converger vers des minima locaux, limitant leur efficacité pour des modèles complexes à plusieurs diodes.

B) Méthodes évolutionnaires

Pour contourner ces limitations, on utilise des approches métaheuristiques, capables d'explorer efficacement l'espace de recherche global :

Algorithmes génétiques (GA)

Les algorithmes génétiques (GA) sont des algorithmes d'optimisation métaheuristiques inspirés des principes de l'évolution naturelle. Ils s'avèrent particulièrement efficaces pour la recherche de solutions optimales dans des problèmes complexes, comme l'optimisation des modèles de cellules solaires. Les GA fonctionnent en simulant l'évolution biologique au sein d'une population d'individus. Chaque individu représente une solution potentielle au problème d'optimisation, et est codé par un chromosome, une structure de données qui encode les valeurs des paramètres du modèl.

Les étapes principales d'un algorithme génétique incluent :

- ✓ *Initialisation et codage de la population : Création* d'une population initiale d'individus générés aléatoirement.
- ✓ Évaluation : Évaluation de la performance de chaque individu en fonction d'une fonction objective, qui représente la mesure de la qualité de la solution.
- ✓ *Sélection*: Sélection des individus les plus performants de la population actuelle pour servir de parents dans la reproduction.
- ✓ *Croisement*: Combinaison des chromosomes des parents pour générer de nouveaux individus, les "enfants". Différents opérateurs de croisement peuvent être utilisés, tels que le croisement à un point ou le croisement à deux points.
- ✓ *Mutation*: Introduction de modifications aléatoires dans les chromosomes des enfants avec une faible probabilité. La mutation permet d'explorer de nouvelles régions de l'espace de recherche et d'éviter la convergence prématurée vers un optimum local.
- ✓ *Répétition*: Répétition des étapes 2 à 5 jusqu'à ce qu'un critère de convergence soit atteint, comme un nombre maximum d'itérations ou une valeur de la fonction objective satisfaisante.

✓ Optimisation par essaim particulaire (PSO) : chaque particule explore l'espace de recherche en se basant sur sa meilleure position connue et celle de ses voisines.

C) Méthodes hybrides

combinent une méthode évolutionnaire (comme PSO) pour éviter les minima locaux avec une méthode classique (comme LM) pour l'ajustement fin autour du minimum global.

Ces méthodes sont plus robustes, notamment lorsque le modèle est fortement non linéaire et lorsque les paramètres initiaux sont inconnus ou peu fiables.

d'identification avec la méthode de Levenberg-Marquardt

Prenons l'exemple du modèle à une diode, où les paramètres à identifier sont :

$$\{I_{sh}, I_{ph}, I_0, n, R_s, R\} = \theta$$
 (II.9)

À partir de mesures expérimentales (${}^{mes}_iVi$, I), on cherche à minimiser l'erreur quadratique :

$$\sum_{i=1}^{N} (I(V_i; \theta) - I_i^{mes})^2$$
 (II.10)

L'algorithme de Levenberg-Marquardt ajuste alors les paramètres à chaque itération jusqu'à minimisation de cette erreur.

II.5 Modèles empiriques basés sur l'ajustement statistique

II.5.1 Introduction

Les modèles empiriques ne cherchent pas à comprendre ni à modéliser les mécanismes physiques sous-jacents qui régissent le comportement électrique et thermique des cellules photovoltaïques. Au lieu de cela, ils exploitent directement les données expérimentales mesurées dans différentes conditions (irradiance, température, etc.) pour construire une relation mathématique descriptive.

L'idée principale est de simplifier la complexité du système en considérant uniquement les entrées mesurables et les sorties observées. Les méthodes statistiques (comme la régression linéaire, la régression polynomiale, les moindres carrés, ou d'autres techniques d'ajustement) permettent d'extraire les coefficients qui traduisent la dépendance des grandeurs électriques (courant, tension, puissance) aux paramètres environnementaux.

Cette approche est avantageuse car elle ne nécessite pas de connaissances détaillées sur la physique interne des cellules ou des modules, ce qui facilite son utilisation dans des contextes où seules les données expérimentales sont disponibles.

II.5.2 Modèle linéaire simplifié

Le model linéaire simplifié repose sur l'hypothèse que la relation entre les grandeurs électriques (courant et tension) et les paramètres environnementaux (irradiance G et temperature T) peut être approximée par des functions linéaires dans une plage restreinte.

A) Courant de court-circuit I_{sc} :

$$I_{sc} = I_{sc,ref} \times \frac{G}{G_{ref}} \times \left[1 + \alpha (T - T_{ref})\right]$$
 (II.11)

Le courant de court-circuit d'une cellule photovoltaïque sous des conditions réelles d'irradiance et de température peut être estimé à partir de sa valeur de référence mesurée sous conditions standards (G_{ref} = 1000 W/m², T_ref = 25°C). Cette valeur de référence, notée $I_{sc,ref}$, sert de point de départ pour évaluer le comportement du courant en fonction des variations environnementales. L'irradiance réelle incidente, désignée par G, influence directement le courant produit, celui-ci étant proportionnel à l'ensoleillement reçu. Par ailleurs, la température réelle (T) impacte également ce courant via le coefficient thermique(α), généralement positif, qui exprime la sensibilité du courant à la température (souvent compris entre 0.001 et 0.005 °C⁻¹). Ainsi, lorsque l'irradiance augmente, le courant croît proportionnellement, et une élévation de température provoque également une légère augmentation du courant, bien que cet effet reste relativement faible par rapport à celui de l'irradiance.

B) Tension en circuit ouvert V_{oc} :

$$V_{oc} = V_{oc,ref} + \beta (T - T_{ref})$$
 (II.12)

La tension en circuit ouvert, notée V_{oc} , représente la tension maximale fournie par une cellule photovoltaïque lorsque le circuit est ouvert, c'est-à-dire sans charge connectée. Cette valeur est généralement mesurée sous conditions standards (irradiance $G_{ref}=1000~{\rm W/m^2}$, température $T_{\rm ref}=25^{\circ}{\rm C}$) et sert de référence pour évaluer les variations de la tension en fonction des conditions réelles. Contrairement au courant, la tension V_{oc} est sensible à la température mais de manière négative. Ce comportement est caractérisé par le coefficient thermique β , dont la valeur est généralement négative (de l'ordre de -0.002 à $-0.005~{\rm V/^{\circ}C}$). Cela signifie qu'une augmentation de la température entraîne une diminution progressive de la tension en circuit ouvert. Cet effet est important à prendre en compte dans la modélisation et l'optimisation des systèmes photovoltaïques, car il influence directement les performances électriques globales de la cellule.

II .5.3 Modèles non linéaires

Le comportement d'une cellule photovoltaïque est fondamentalement non linéaire, principalement à cause des effets internes liés au fonctionnement des jonctions pn, aux phénomènes de recombinaison des porteurs, et aux résistances parasites. Le modèle le plus connu et utilisé est le modèle à une diode ou le modèle à deux diode.

II.6 Modèles numériques par apprentissage automatique (ML)

II.6.1 Introduction

Avec l'essor de l'intelligence artificielle, les modèles numériques fondés sur l'apprentissage automatique (Machine Learning) sont devenus une alternative puissante aux approches traditionnelles pour la modélisation des cellules photovoltaïques. Contrairement aux modèles physiques ou empiriques, ces méthodes n'imposent aucune forme fonctionnelle prédéfinie entre les variables d'entrée (comme l'irradiance, la température, ou la tension) et la sortie (le courant ou la puissance). Elles apprennent automatiquement cette relation à partir d'un ensemble de données expérimentales.

Parmi les techniques les plus utilisées, on trouve :

- ✓ les machines à vecteurs de support (SVM) pour la régression,
- ✓ les forêts aléatoires et les algorithmes de boosting,
- ✓ ou encore les méthodes plus récentes basées sur le deep learning.
- ✓ les réseaux de neurones artificiels (ANN), capables de modéliser des relations très complexes et non linéaires, [14]

II.6.1.1 les machines à vecteurs de support (SVM) pour la régression

Dans le cadre de la modélisation des cellules photovoltaïques, les machines à vecteurs de support pour la régression (SVR - Support Vector Regression) constituent une méthode puissante et largement utilisée. Cette technique repose sur le même principe que les SVM pour la classification, mais elle est adaptée aux problèmes de prédiction de variables continues. Le principe fondamental de la SVR est de trouver une fonction f(x)f(x)f(x) qui s'écarte au maximum d'une certaine marge ϵ epsilon ϵ par rapport aux points de données d'entraînement, tout en étant aussi plate que possible pour éviter le surapprentissage.

L'une des principales forces des SVM est leur capacité à gérer les relations non linéaires entre les entrées et les sorties grâce à l'utilisation de fonctions noyau (kernel functions). Parmi celles-ci, le noyau gaussien (RBF - Radial Basis Function) est fréquemment utilisé dans les applications photovoltaïques en raison de sa capacité à capturer des relations complexes et non linéaires. Ainsi, en fournissant comme variables d'entrée des paramètres tels que l'irradiance solaire (G), la température de cellule (T), ou encore la tension (V), le modèle SVR est capable d'estimer des sorties comme le courant (I) ou la puissance (P) délivrée par le panneau.

Les avantages des SVM résident principalement dans leur robustesse face au bruit, leur capacité de généralisation même avec des ensembles de données relativement petits, ainsi que dans leur aptitude à modéliser des systèmes complexes sans nécessiter d'hypothèses physiques explicites sur le fonctionnement interne de la cellule photovolta \ddot{a} que. Toutefois, un inconvénient majeur est le coût computationnel élevé pour les grands ensembles de données, ainsi que la nécessité d'ajuster soigneusement les hyperparamètres (paramètre de régularisation CCC, valeur de ϵ epsilon ϵ , paramètres du noyau) pour obtenir de bonnes performances.

En résumé, l'utilisation de la SVR pour la modélisation des cellules photovoltaïques permet d'obtenir une estimation précise et efficace du comportement électrique des panneaux solaires, surtout lorsque les données expérimentales sont limitées ou difficiles à exploiter avec des modèles physiques classiques [15].

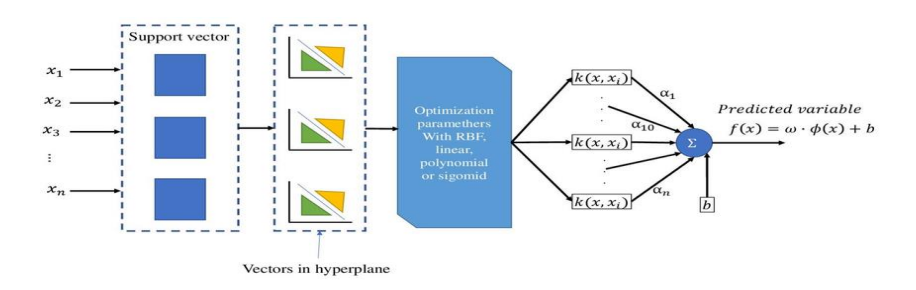


Figure II.6: Architecture générale d'un modèle de machine à vecteurs de support (SVM).

II.6.1.2 les forêts aléatoires et les algorithmes de boosting

Les forêts aléatoires (*Random Forests*) et les algorithmes de boosting représentent deux techniques puissantes d'apprentissage automatique largement utilisées dans la modélisation numérique des systèmes photovoltaïques. Les forêts aléatoires reposent sur l'agrégation d'un grand nombre d'arbres de décision construits à partir d'échantillons aléatoires des données d'apprentissage. Chaque arbre fournit une prédiction, et la moyenne de ces prédictions améliore

considérablement la précision tout en réduisant le risque de surapprentissage (overfitting). Cette méthode est particulièrement efficace pour capturer les relations complexes et non linéaires entre les variables d'entrée (telles que l'irradiance ou la température) et les sorties électriques des modules photovoltaïques. D'autre part, les algorithmes de boosting, tels que l'AdaBoost ou le Gradient Boosting, fonctionnent selon un principe séquentiel où chaque modèle successif corrige les erreurs de prédiction commises par le précédent. Grâce à cette approche itérative, les algorithmes de boosting offrent une excellente capacité de généralisation, même avec des ensembles de données de taille limitée. Ensemble, ces techniques constituent des outils performants pour la prédiction précise des performances photovoltaïques et sont souvent intégrées dans les stratégies avancées de commande et d'optimisation énergétique. [16].

II.6.1.3 les méthodes plus récentes basées sur le deep learning

Branche avancée de l'apprentissage automatique. Contrairement aux approches classiques comme les SVM ou les forêts aléatoires, ces techniques utilisent des réseaux de neurones profonds capables d'extraire automatiquement des caractéristiques complexes à partir des données. Parmi les architectures les plus utilisées, on retrouve les réseaux neuronaux convolutifs (CNN) pour le traitement d'images, les réseaux récurrents (RNN) pour les séries temporelles, ainsi que les réseaux de neurones profonds (DNN) pour des tâches générales de régression ou classification. Ces modèles offrent une grande capacité de généralisation et sont particulièrement performants lorsque de grandes quantités de données sont disponibles. Cependant, ils nécessitent des ressources de calcul élevées et une phase d'apprentissage soigneusement contrôlée pour éviter le surapprentissage. Le deep learning est aujourd'hui au cœur des recherches modernes en intelligence artificielle, y compris pour la modélisation et l'optimisation des systèmes photovoltaïques.

II.6.2 Réseaux de Neurones Artificiels (RNA)

Les réseaux de neurones artificiels (ANN) sont largement utilisés dans la modélisation des systèmes photovoltaïques grâce à leur capacité à apprendre des relations complexes et non linéaires à partir de données expérimentales. Contrairement aux modèles analytiques traditionnels, les ANN ne nécessitent pas de connaissance préalable de la structure physique interne de la cellule. Ils fonctionnent en traitant des entrées mesurées telles que l'irradiance solaire (G), la température ambiante (T), et parfois la tension (V), pour prédire une sortie comme le courant de sortie (I) ou la puissance (P). [17].

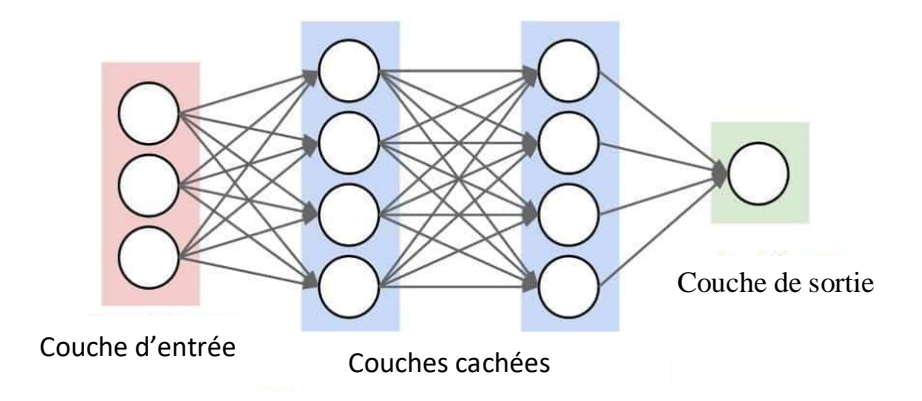


Figure II.7 : Architecture d'un réseau de neurones artificiels pour une cellule PV

Les Réseaux de Neurones Artificiels (RNA) sont des modèles inspirés du fonctionnement du cerveau humain. Ils sont composés de couches de neurones artificiels connectés entre eux. Un réseau typique comprend :

- \checkmark Une couche d'entrée (reçoit les variables comme l'irradiance G , la température T , la tension V),
- ✓ Une ou plusieurs couches cachées (effectuent des opérations non linéaires sur les données),
- \checkmark Une couche de sortie (fournit les valeurs prédites : courant **I**, puissance **P**).

A) Structure mathématique d'un neurone

Un *neurone artificiel* est l'unité de base des réseaux de neurones. Il simule de manière simplifiée le fonctionnement d'un neurone biologique en recevant plusieurs signaux d'entrée, en les pondérant, puis en produisant une sortie. Sur le plan mathématique, un neurone prend en entrée un vecteur de caractéristiques $x = [x_1, x_2, ..., x_n]$ associé à un vecteur de *poids* synaptiques $w = [w_1, w_2,, w_n]$, et effectue une combinaison linéaire de ces entrées, à laquelle on ajoute un biai Cette somme est ensuite passée dans une *fonction d'activation non linéaire* qui permet au réseau d'apprendre des relations complexes.

La fonction d'activation joue un rôle essentiel : elle introduit de la non-linéarité dans le modèle, ce qui permet au réseau de neurones d'approcher des fonctions complexes. Sans elle, l'ensemble du réseau se résumerait à une simple combinaison linéaire.

Chaque neurone calcule une combinaison linéaire de ses entrées, suivie d'une fonction d'activation non linéaire :

$$z = \sum_{i=1}^{n} w_i x_i + b \ a = f(z)$$
 (II .13)

où:

 $\checkmark x_i$: sont les entrées,

 \checkmark w_i les poids,

 \checkmark b le biais,

 $\checkmark f$ la fonction d'activation (souvent ReLU, Sigmoid ou tanh),

 $\checkmark \alpha$ la sortie du neurone.

B) Entraînement du réseau: rétropropagation

Le RNA est entraîné à l'aide d'un algorithme d'apprentissage supervisé appelé rétropropagation, qui minimise une fonction de perte comme l'erreur quadratique moyenne (MSE) :

$$l = \frac{1}{n} \sum (y_i - \widehat{y}_i)^2$$
 (II.14)

Les poids sont mis à jour par descente du gradient :

$$w_{new} = w_{old} - n.\frac{dl}{dw}$$
 (II.15)

où n: est le taux d'apprentissage.

C) Méthodologie d'entraînement RNA

▶ Collecte de données massives

La collecte de données massives est une étape cruciale dans la conception des réseaux de neurones artificiels (RNA). Elle consiste à rassembler un volume important de données représentatives du phénomène à modéliser. Dans le contexte des systèmes photovoltaïques, ces données peuvent inclure des mesures expérimentales telles que l'irradiance, la température, la tension, le courant ou encore la puissance électrique. La qualité et la diversité des données jouent un rôle déterminant, car elles conditionnent la capacité du modèle à généraliser ses prédictions dans différentes conditions de fonctionnement. Par ailleurs, un prétraitement rigoureux – incluant le nettoyage, la normalisation et éventuellement l'enrichissement des données – s'avère indispensable pour garantir des résultats pertinents lors de la phase d'apprentissage du réseau.

> Prétraitement

Le prétraitement des données constitue une étape cruciale dans la méthodologie d'entraînement d'un réseau de neurones artificiels (RNA). Il permet d'améliorer la qualité des données et d'optimiser l'efficacité de l'apprentissage. Cette étape comprend plusieurs opérations, telles que le nettoyage des données pour éliminer les valeurs aberrantes ou manquantes, ainsi que la normalisation ou standardisation des variables afin de ramener toutes les données dans une plage comparable. Dans le cas de la modélisation de systèmes photovoltaïques, cela permet d'éviter que certaines variables (par exemple l'irradiance ou la température) n'aient une influence disproportionnée sur l'apprentissage. Un bon prétraitement facilite ainsi la convergence du réseau, réduit les erreurs d'approximation et améliore la précision des prédictions finales.

Séparation des jeux de données

La séparation des jeux de données est une étape fondamentale dans la méthodologie d'entraînement d'un réseau de neurones artificiels (RNA). Elle consiste à diviser l'ensemble des données collectées en plusieurs sous-ensembles afin d'assurer

- ➤ Optimisation des hyperparamètres : nombre de neurones, couches, taux d'apprentissage, fonctions d'activation.
- ➤ Évaluation des performances : RMSE (Root Mean Square Error), MAE (Mean Absolute Error), R² (coefficient de détermination).

II.7 Conclusion

La modélisation photovoltaïque repose sur un compromis entre fidélité, complexité, et applicabilité pratique. Chaque famille de modèles présente des avantages particuliers selon le contexte d'utilisation

- ✓ Le modèle à deux diodes offre une précision physique rigoureuse, bien adaptée à la recherche et à l'analyse fine du comportement des cellules.
- ✓ Les modèles empiriques permettent une mise en œuvre rapide avec peu de calculs, utile pour les applications industrielles.
- ✓ Les modèles à base de ML, notamment les RNA, représentent une solution prometteuse pour les systèmes intelligents adaptatifs et les stratégies de commande avancées.

L'approche hybride combinant modélisation physique et apprentissage automatique constitue une voie novatrice pour optimiser la performance et la robustesse des futurs systèmes photovoltaïques intelligents.

CHAPITRE 03 MODÉLISATION ET SIMULATION AVEC UNE SEUL DIODE ET RÉSEAU DE NEURONE

III.1 Introduction

La simulation se divise en deux étapes distinctes. La première vise à configurer et valider le modèle à une seule diode, utilisé pour générer la courbe courant-tension (I-V) du module photovoltaïque étudié. Une fois validé, ce modèle sert de référence dans la seconde étape, qui consiste à développer un réseau de neurones artificiels de type afin de modéliser le même module PV

III.2 Caractérisation des générateurs photovoltaïques :

III.2.1 Caractéristiques (I-V) et (P-V) :

Les caractéristiques électriques, représentées par les courbes courant-tension (I-V) et puissancetension (P-V),(Figure III.1), ont été mesurées sous des conditions standards (G=1000 w/m², T=25) sont illustrées dans la figure suivante :

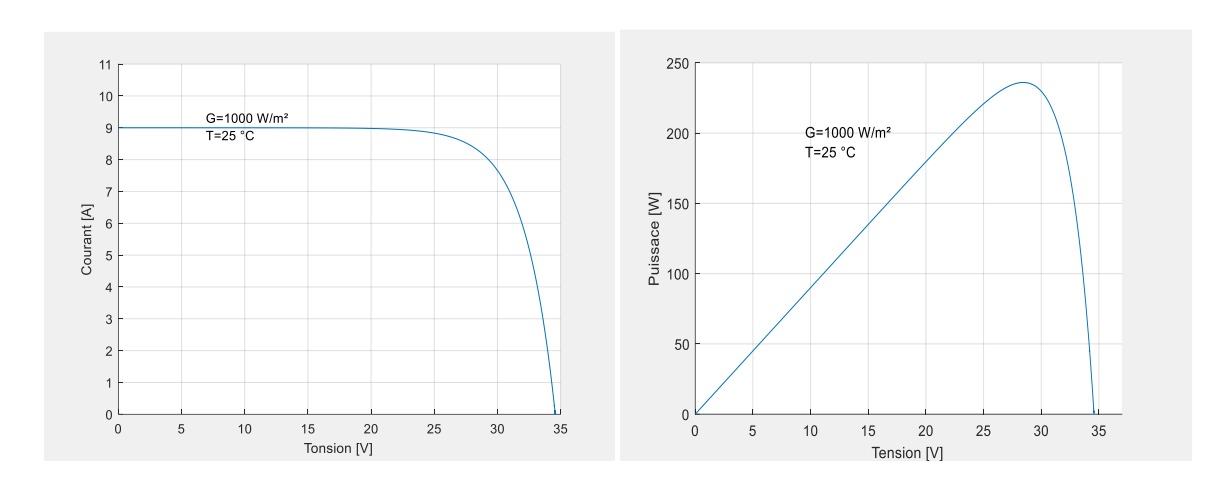


Figure III.1 : Courbe caractéristique I=f(V) et P=f(V)

III.3 Influence de la température :

L'étude thermique a porté sur quatre températures (22, 28, 32 et 37 °C) à irradiance constante (1000 W/m²). Cette approche permet d'isoler l'effet de la température sur les paramètres électriques du panneau, indépendamment des variations lumineuses.

III.3.1 Caractéristiques courants-Tensions (I=f(V)):

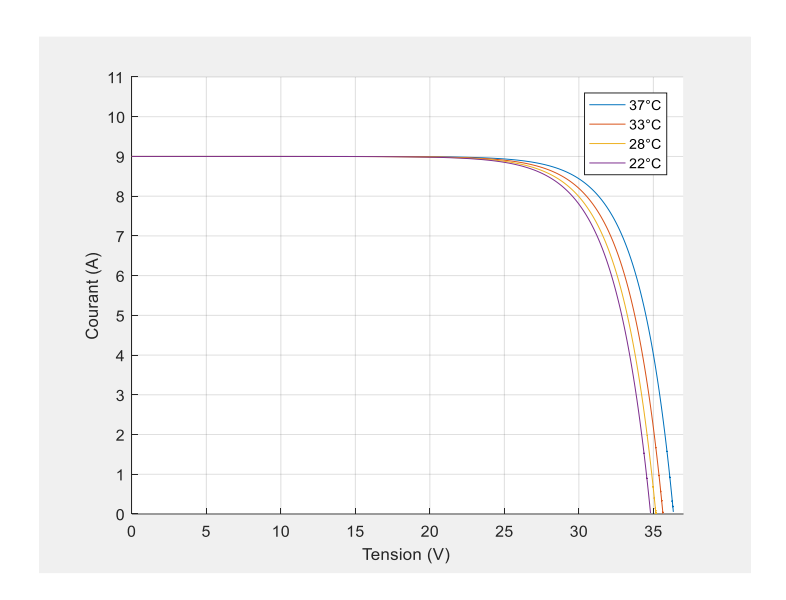


Figure. III.2: Les caractéristiques de I = f(V) en fonction des variations de la température et de l'irradiance standard (1000 W/m²).

III.3.2 Caractéristiques Puissance-Tension P=f(V):

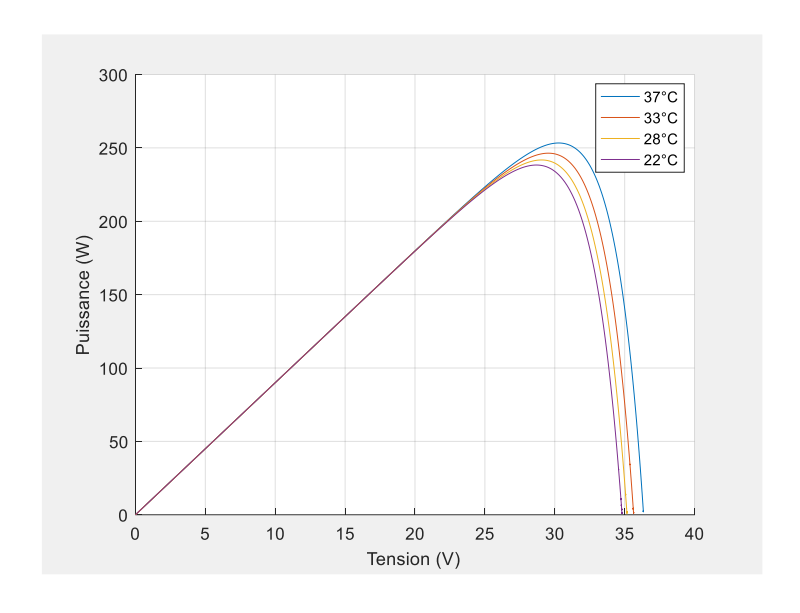


Figure III.3: Les caractéristiques de P = f(V) en fonction des variations de la température et de l'irradiance standard (1000 W/m²).

Sous l'effet de la température, la concentration des porteurs intrinsèques s'accroît, augmentant le taux de recombinaison dans le semi-conducteur. Ce phénomène engendre une croissance du courant de saturation inverse.

Autrement dit, la température constitue un paramètre déterminant dans le fonctionnement des

cellules photovoltaïques. En effet, les propriétés électriques des matériaux semi-conducteurs sont particulièrement sensibles aux variations thermiques, ce qui impacte de manière significative le comportement électrique de la cellule et, par conséquent, son rendement global. Cette influence se traduit essentiellement par une diminution de la tension de sortie (accompagnée d'une légère augmentation du courant généré).

La perte de tension d'un module photovoltaïque en fonction de la température peut être estimée à l'aide de la relation suivante :

$$U(T^{\circ}) = U(25^{\circ}C) + (\Delta T^{\circ}*a)$$
 (III.1)

Avec:

- ✓ ΔT : augmentation de température par rapport aux conditions Standards de Test (25°C)
- ✓ A : coefficient de température Voce [mV/K], sa valeur est par défaut.

III.4 Influence de l'irradiation:

III.4.1 Caractéristiques I=f(V)

Les simulations ont été réalisées sous différents niveaux d'irradiance (550, 650, 850 et 1000 W/m²) à une température constante de 25°C.

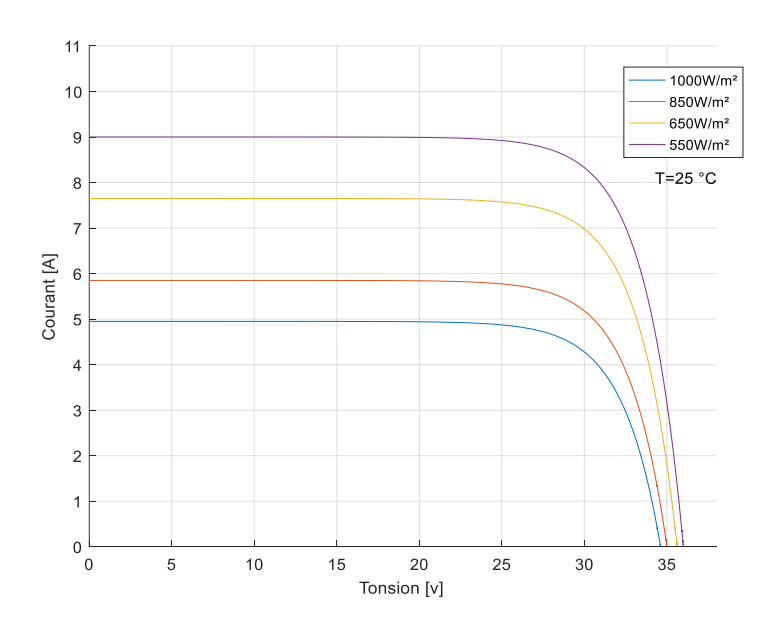


Figure. III.4 : Les caractéristiques de I=f(V) en différentes valeurs d'irradiance et une température Standard de 25°C

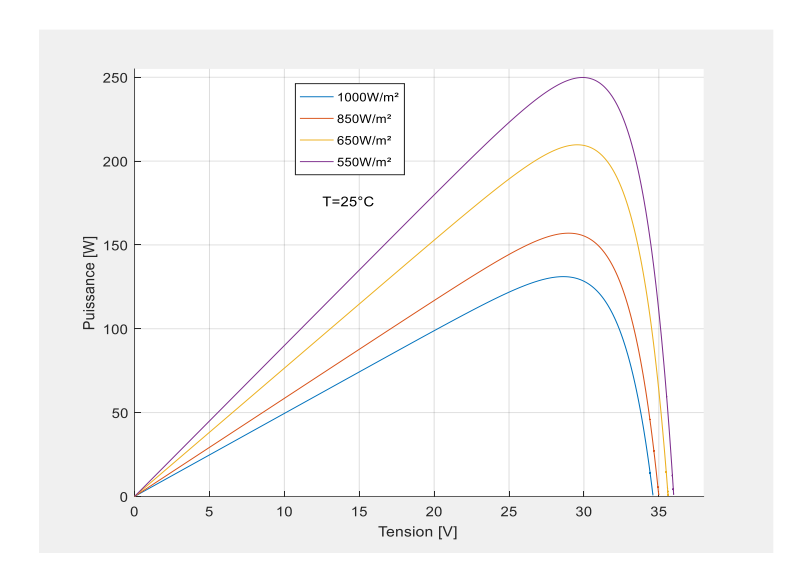


Figure III.5: Les caractéristiques de P=f(I) en différentes valeurs d'irradiance et une température Standard de 25°C

Les résultats montrent que la puissance de sortie d'un panneau solaire dépend non seulement de la température et de l'ensoleillement, mais également de la tension de fonctionnement (V). D'après les courbes obtenues (Fig. III.5), on observe une nette augmentation du courant (I) avec l'irradiance. Par conséquent, puisque la puissance $(P = V \times I)$ est directement liée au courant, elle croît également avec l'intensité lumineuse. Par ailleurs, une légère augmentation de la tension (V) est constatée lorsque l'irradiance s'accroît, ce qui contribue à l'amélioration des performances du système photovoltaïque. [18]

III.5 Modèle mathématique (modèle à une diode) :

Le modèle à une diode est implémenté sous MATLAB afin de simuler la courbe courant-tension (I-V) du panneau photovoltaïque, dont les caractéristiques techniques fournies par le fabricant sont récapitulées dans le tableau IV.1.

Paramètre	Symbole	Valeur
Tension en circuit ouvert	Voc	36 V
Courant de court-circuit	Icc	6 A
Nombre de cellules en série (monocristallines)	N	36
Coefficient de température du courant de court-circuit	A	mA/C

Tableau III.1: Paramètres du constructeur du module PV « Sun Power 300 »

La première étape consiste à adapter le modèle au panneau photovoltaïque à étudier : on cherche les paramètres du modèle (Iph, Rsh, Rsh, A, Vco,) qui donnent des courbes I-V les plus proches aux courbes expérimentales. Pour cela, il suffit de comparer les courbes obtenues aux courbes données par le constructeur (voir les courbes du constructeur en annexe). A noter que des paramètres sont données par le constructeur (Vco, Iph, PPM, nature du semiconducteur...) tandis que d'autres sont à estimer.

Tracer la courbe I-V en utilisant le modèle à une diode revient à trouver pour chaque tension V la valeur du courant I vérifiant l'équation du modèle à une diode. La résolution mathématique de cette équation n'est pas simple. Une méthode numérique s'avère nécessaire. D'après la littérature, la méthode de Newton-Raphson est largement utilisée dans ce cas.

En fait, par la méthode de Raphson, on cherche pour chaque V la valeur de I vérifiant la relation f(I)=0 tel que :

$$In + 1 = In - f'(In)/f(In)$$
 (III.2)

Le programme que nous avons écrit suit l'organigramme de la *figure III.6*.

Il suffit de réaliser une boucle commençant par V=0 et finissant à V=Vco ; à chaque itération la méthode de Newton-Raphson est appelée.

Validé, le modèle, peut être utilisé pour étudier les performances du panneau pour différentes conditions de fonctionnement (température et ensoleillement) (figure IV.2 et figure IV.3).

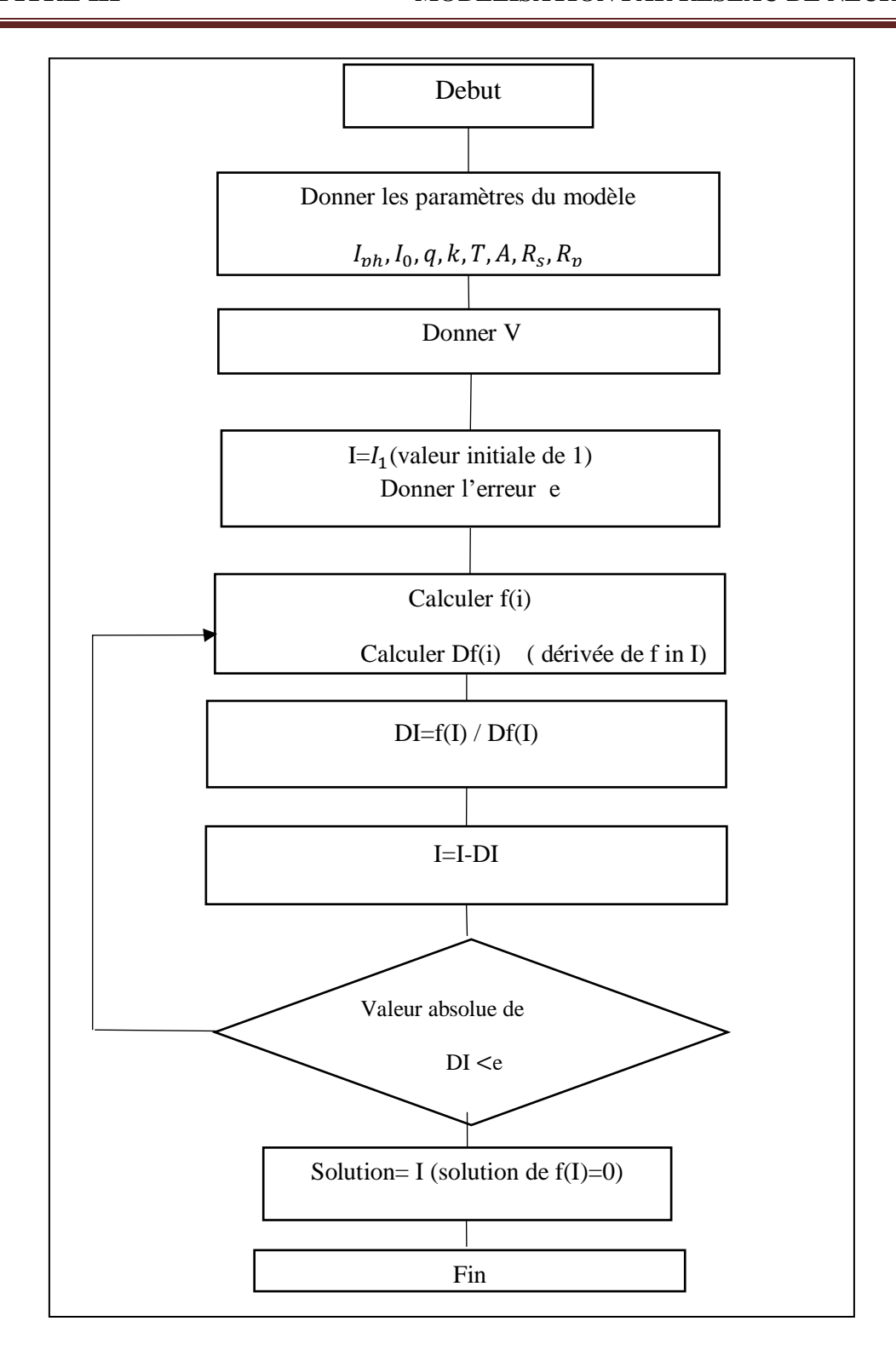


Figure III.6 : Organigramme de la méthode Newton-Raphson

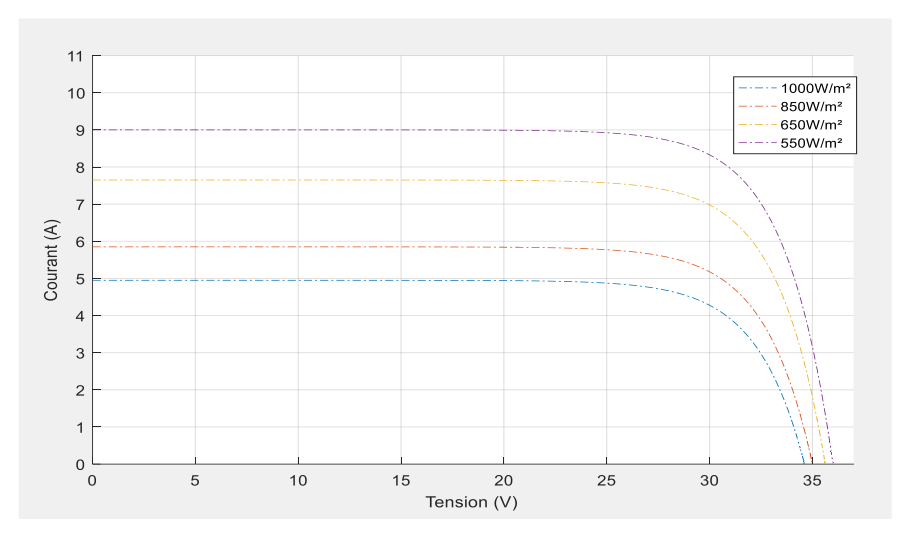


Figure III.7 : Courbes I= f(V) mesurées et estimées à T=25°C pour différentes irradiations (model à diode)

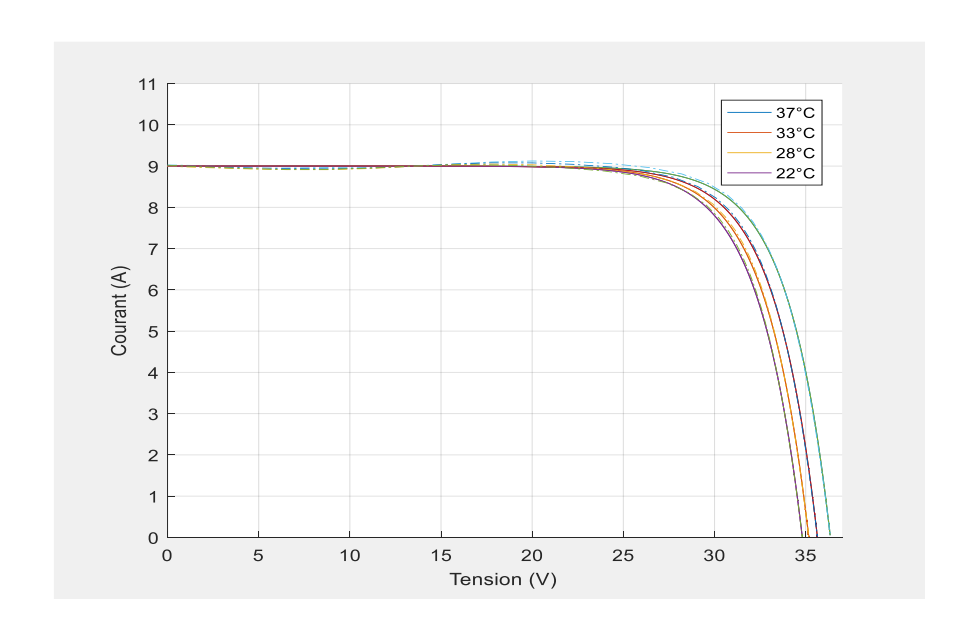


Figure III.8 Courbes P= f(V) mesurées et estimées à G=1000w/m² pour différentes températures (model à diode)

Il est observé que la tension en circuit ouvert varie très peu avec l'éclairement, contrairement au courant de court-circuit qui augmente significativement lorsque l'éclairement s'intensifie. Par ailleurs, bien que le courant croisse légèrement, la tension diminue, ce qui entraîne une diminution globale de la puissance délivrée. Ainsi, une élévation de la température réduit les performances de la cellule photovoltaïque, un comportement qui peut sembler contre-intuitif à première vue.

Dans une seconde phase, les points I-V utilisés comme données d'apprentissage pour le réseau de neurones, présenté dans le paragraphe suivant. Idéalement, des mesures expérimentales

auraient été préférées, mais leur acquisition s'avère impossible en l'absence d'un banc de test photovoltaïque au sein de nos laboratoires

III.6 Modèle de réseaux de neurones proposés

Le comportement d'un module photovoltaïque est fortement influencé par les conditions environnementales, notamment l'irradiance et la température. Les modèles classiques basés sur les équations physiques peuvent devenir complexes à paramétrer. Les réseaux de neurones artificiels (RNA) offrent une alternative efficace et flexible pour la prédiction du comportement non linéaire des systèmes photovoltaïques. Dans cette étude, un RNA est conçu dans MATLAB pour prédire le courant (I) à partir de trois entrées : l'irradiance (G), la température (T) et la tension (V). Le modèle est entraîné à l'aide de l'outil graphique *NNTRAINTOOL*, permettant une évaluation interactive de la performance du réseau.

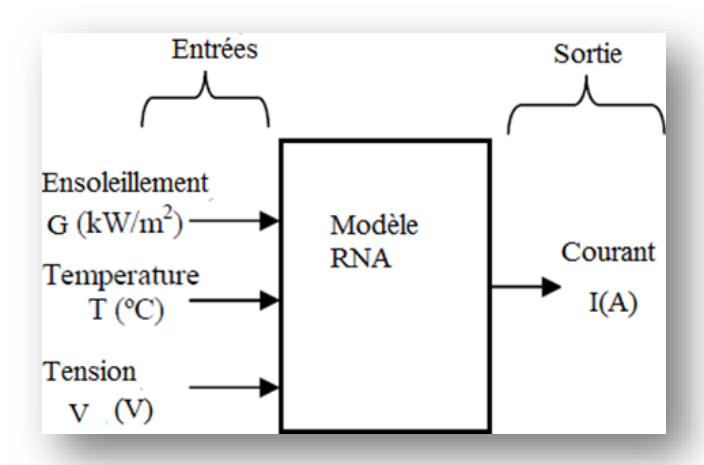


Figure III.9 : Modèle de Réseau de neurones (entrées et sortie)

III.7 Développement du modèle de réseau de neurones artificiels

Pour cette modélisation, la technique des réseaux de neurones a été adoptée. Le processus de mise en œuvre du modèle repose sur les étapes principales suivantes :

III.7.1 Collecte des données expérimentales

La première étape consiste à constituer une base de données expérimentale reflétant le comportement du module photovoltaïque dans des conditions d'exploitation réelles. Les paramètres d'entrée retenus sont l'irradiation solaire G (en W/m²) et la température ambiante T (en °C).

Pour cette étude, les données ont été collectées pour des valeurs d'irradiation variant de 500 à 1000 W/m² par incréments de 50 W/m², soit 11 niveaux :

 $G = \{500, 550, 600, ..., 1000\} \text{ W/m}^2$.

Parallèlement, la température ambiante a été modifiée de 22 °C à 55 °C, couvrant une large plage thermique, représentative des conditions de fonctionnement réelles d'un champ photovoltaïque. Pour chaque couple (*G*,*T*), une courbe caractéristique courant-tension (I-V) a été enregistrée, puis discrétisée en plusieurs points (V, I), constituant les données d'entrée-sortie du modèle.

III.7.2 Choix de l'architecture du réseau de neurones

Le modèle mis en œuvre est un réseau de neurones de type perceptron multicouche (MLP), conçu pour effectuer une régression non linéaire. L'architecture adoptée est la suivante :

- Entrées : 3 neurones représentant l'irradiation G, la température T, et la tension du module Vpv.
- Couche cachée : 1 couche contenant 15 neurones, avec la fonction d'activation sigmoïde tangentielle (tansig).
- **Sortie**: 1 neurone correspondant au courant de sortie Ipv.
- Cette configuration a été retenue après plusieurs essais empiriques, offrant un bon compromis entre complexité et performance de généralisation.

III.7.3 Phase d'apprentissage

L'apprentissage du réseau de neurones a été effectué dans l'environnement MATLAB, à l'aide de l'outil nntraintool, en utilisant l'algorithme Levenberg-Marquardt (trainlm), reconnu pour sa rapidité de convergence et son efficacité dans les problèmes de régression non linéaire.

L'ensemble de données, constitué de **60 038** points de mesure, a été obtenu à partir des courbes caractéristiques courant-tension (I–V) générées pour différentes combinaisons d'irradiation (G) et de température (T). Chaque courbe a été discrétisée en un ensemble de paires (V, I), permettant de former une base de données suffisamment dense pour représenter fidèlement l'espace d'entrée.

Afin de garantir une bonne capacité de généralisation du modèle, les données ont été aléatoirement réparties selon la règle suivante :

- 70 % pour l'apprentissage (entraînement),
- 15 % pour la validation croisée (utilisée pour arrêter l'entraînement en cas de surapprentissage),
- 15 % pour le test (évaluation finale du modèle).

Les données proviennent des courbes I-V obtenues pour les combinaisons de G et T

mentionnées ci-dessus, discrétisées en points (V, I), formant ainsi un ensemble suffisamment riche pour couvrir l'espace d'entrée.

III.7.4 Évaluation des performances

Après entraînement, les performances du modèle sont évaluées à l'aide d'un jeu de test indépendant. Le critère d'évaluation incluent : *L'erreur quadratique moyenne (RMSE)*,

Les résultats montrent une excellente capacité de prédiction du courant de sortie Ipv en fonction de G,T et Vpv, avec des erreurs inférieures à **0.35 x 10**⁻⁴ dans la majorité des cas. Le modèle est capable de généraliser avec précision à des combinaisons d'irradiance et de température non rencontrées durant l'apprentissage.

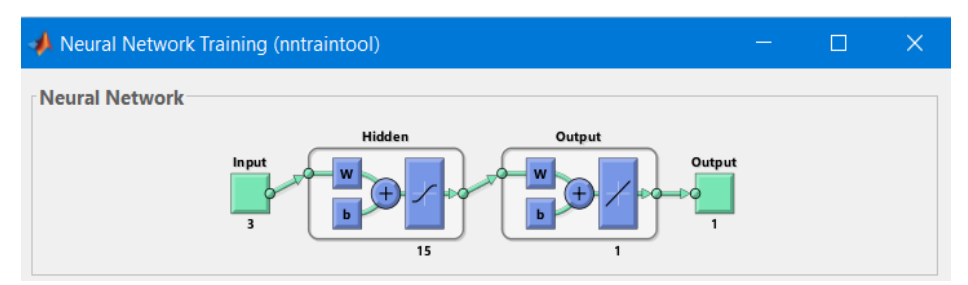


Figure III.10: Bloc de conception du réseau par logiciel MATLAB

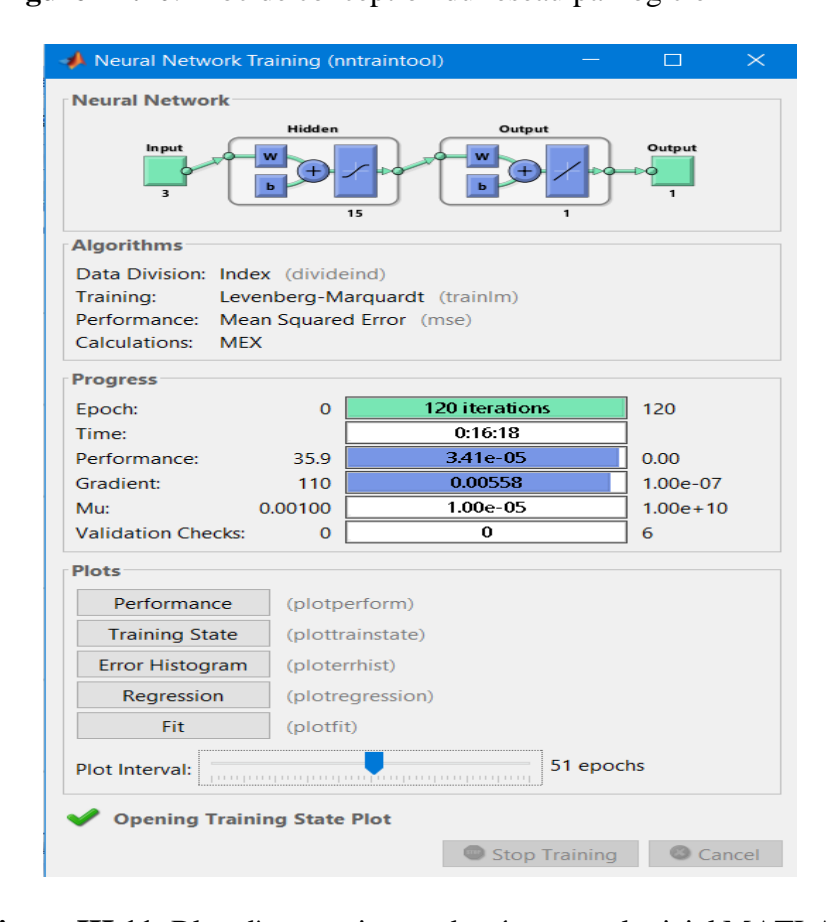


Figure III.11: Bloc d'apprentissage du réseau par logiciel MATLAB

III.8 Résultats et interprétation des courbes I-V et P-V

Les courbes caractéristiques courant—tension (I=f(V)) et puissance—tension (P=f(V)) sont essentielles pour évaluer les performances électriques des modules photovoltaïques. Dans cette étude, les résultats expérimentaux sont comparés aux prédictions fournies par un réseau de neurones artificiels (RNA), entraîné pour modéliser le comportement du système sous différentes conditions d'irradiance et de température.

III.8.1 Courbes I-V: Précision du modèle RNA

Les courbes I-V (*Figure III.12*, *III.14*) simulées par le RNA montrent une forte cohérence avec les données expérimentales. Sous irradiance croissante, on observe une augmentation significative du courant de court-circuit (*Isc*), tandis que la tension en circuit ouvert (*Voc*) varie légèrement à la hausse. À l'inverse, une élévation de la température provoque une diminution de *Voc*, avec un léger accroissement de Isc. Le modèle RNA parvient à reproduire fidèlement ces variations, avec une erreur quadratique moyenne (*RMSE*) inférieure à 10⁻³, et une précision satisfaisante dans l'identification des points clés, notamment le point de puissance maximale (MPP).

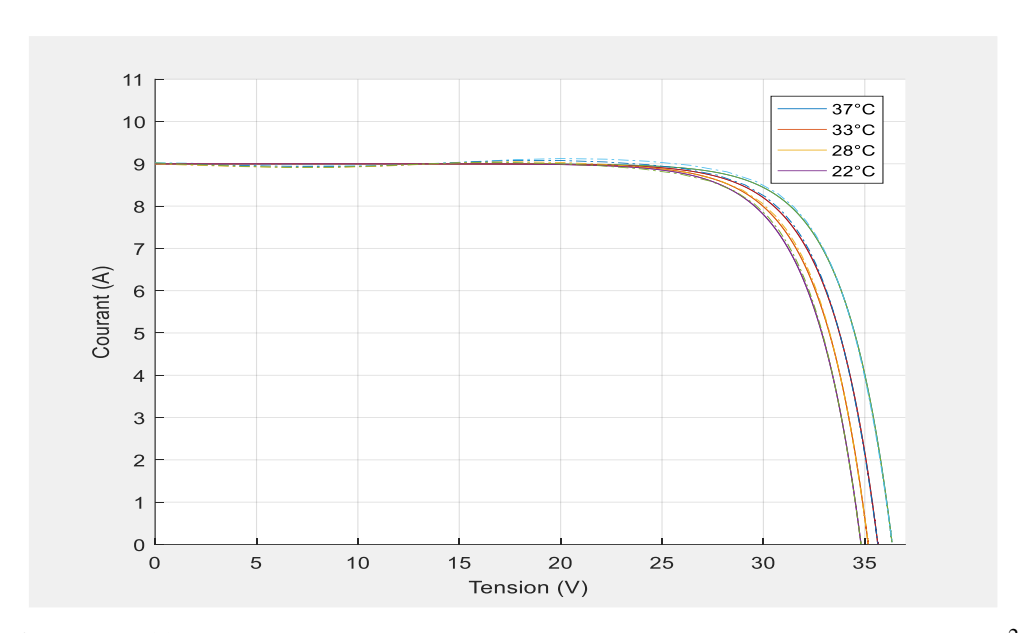


Figure III.12 : Courbes P= f(V) mesurées et estimées par RNA à G=1000w/m² pour différentes températures

III.8.2 Courbes P-V: Identification du point MPP

Les courbes P-V (Figure III.13, III.15) obtenues présentent la forme attendue : une montée progressive de la puissance jusqu'au MPP, suivie d'une chute rapide. L'augmentation de

l'irradiance conduit à une hausse marquée de la puissance maximale (Pmax), tandis qu'une hausse de température se traduit par une réduction de Pmax, principalement en raison de la baisse de tension au MPP. Le modèle RNA anticipe avec exactitude la position et la valeur du point de puissance maximale, avec un écart relatif inférieur à 3 % par rapport aux mesures expérimentales.

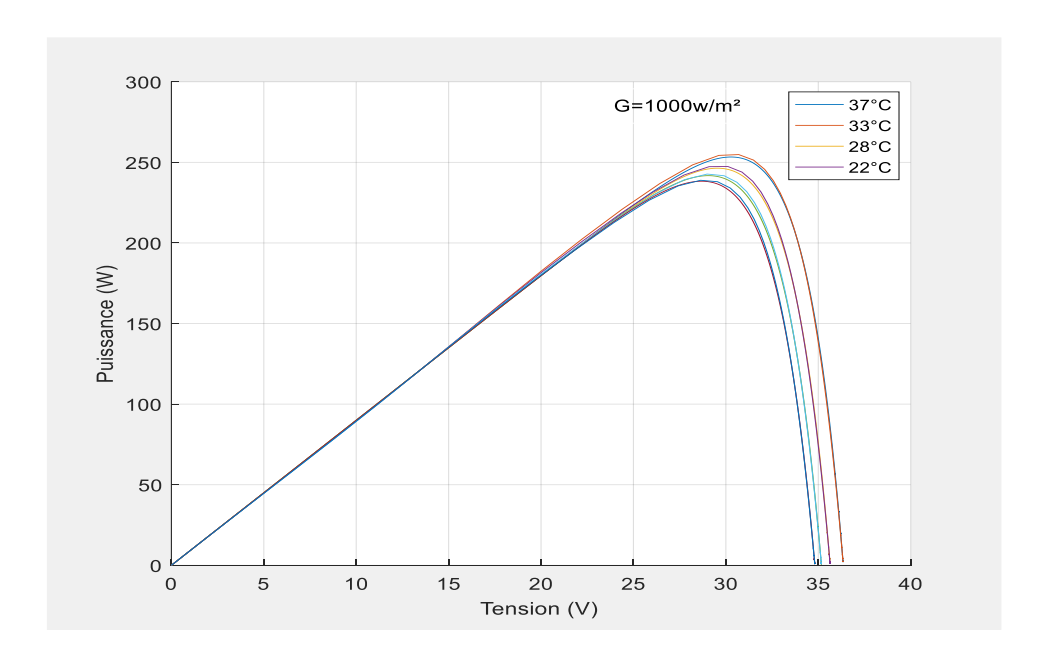


Figure III.13: Courbes P= f(V) mesurées et estimées par RNA à G= 1000 pour différentes températures

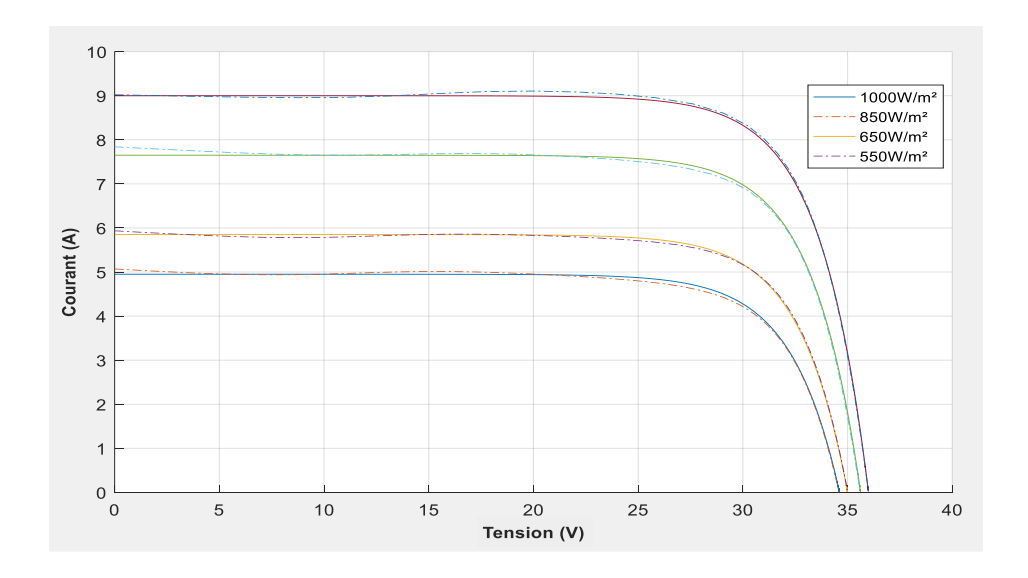


Figure III.14: Courbes I= f(V) mesurées et estimées par RNA à T=25°C pour différentes Irradiations

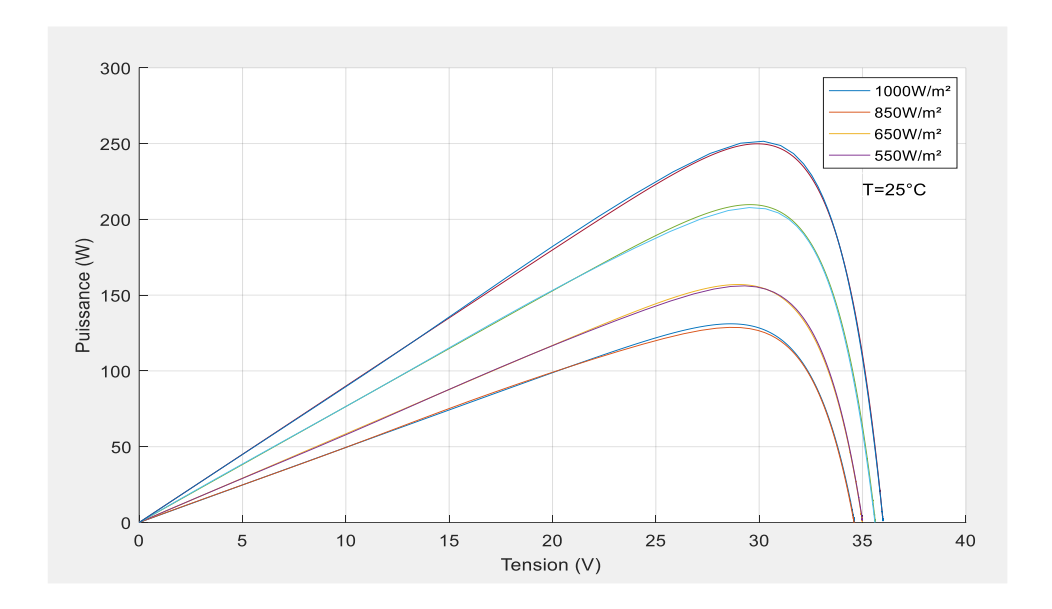


Figure III.15: Courbes P= f(V) mesurées et estimées par RNA à T=25°C pour différentes Irradiations.

III.8.3 Fiabilité et performance du modèle

Les performances du RNA démontrent sa capacité de généralisation, sa robustesse face à des conditions variables, ainsi que son adéquation à des applications de type MPPT ou de prévision énergétique. Grâce à une faible complexité de calcul une fois entraîné, ce modèle constitue une solution efficace pour la modélisation temps réel des systèmes photovoltaïques.

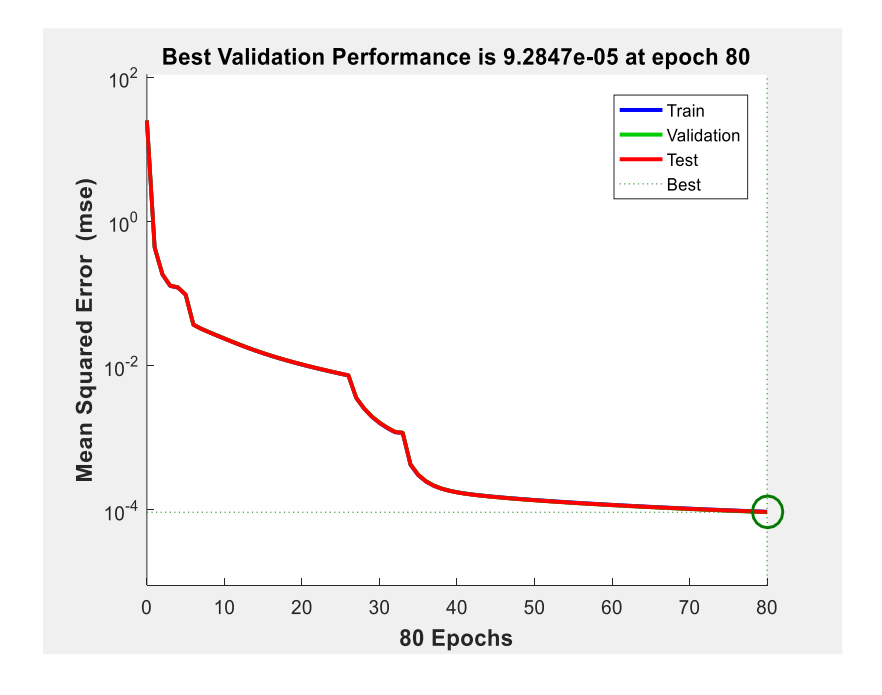


Fig. III.16: Performance du réseau de neurones

G=1000	Te=25 °C	Te=35 °C	Te=45 °C	Te=55 °C
EQM	$0.1312.10^{-3}$	$0.1234.10^{-3}$	0.1403 .10 ⁻³	$0.1505.10^{-3}$

Tableau III. 3 : Eqm entre caractéristiques I=f(v) Simulink et RN

À partir des caractéristiques I = f(V) et P = f(V) obtenues respectivement par Simulink et par le réseau de neurones, nous constatons une superposition quasi parfaite des deux courbes. Cette concordance est confirmée par les faibles erreurs reportées dans les tableaux de résultats.

Ces résultats démontrent la capacité du réseau de neurones à modéliser fidèlement le comportement électrique du module photovoltaïque. Une fois l'apprentissage réalisé sur les quatre courbes d'entrée, les sorties générées par le réseau correspondent étroitement à celles obtenues par Simulink, utilisé ici comme référence.

On observe également que de bonnes performances du réseau sont directement liées à la qualité de l'apprentissage et des données de test utilisées.

III.10 Conclusion:

Les simulations réalisées sous Matlab ont permis d'analyser en détail le comportement d'un système photovoltaïque en utilisant deux approches distinctes : le modèle à une diode et le réseau de neurones artificiels. Les résultats obtenus démontrent que ces méthodes sont complémentaires et offrent des perspectives prometteuses pour l'optimisation des performances des systèmes photovoltaïques.

Le modèle à une diode, bien que basé sur des principes physiques simplifiés, a fourni des résultats cohérents pour prédire les caractéristiques courant-tension (I-V) et puissance-tension (P-V) du système. Il s'est avéré particulièrement utile pour comprendre l'influence des paramètres environnementaux tels que la température et l'irradiance sur les performances du panneau. Cependant, sa précision reste limitée dans des conditions de fonctionnement extrêmes ou non linéaires.

En revanche, le réseau de neurones artificiels a montré une capacité remarquable à modéliser fidèlement le comportement du système photovoltaïque, même dans des conditions variables. Grâce à son apprentissage basé sur des données expérimentales, le réseau a pu généraliser des situations non incluses dans l'entraînement, confirmant ainsi sa robustesse et son adaptabilité.

Les erreurs minimales observées entre les courbes simulées et les données de référence attestent de l'efficacité de cette approche.

En conclusion, cette étude met en évidence le potentiel des techniques avancées de modélisation, notamment l'intelligence artificielle, pour améliorer la précision et l'efficacité des systèmes photovoltaïques. Les simulations sous Matlab ont non seulement validé ces approches mais ont également ouvert la voie à des applications pratiques, telles que l'intégration dans des algorithmes MPPT ou le dimensionnement optimisé des installations solaires. Ces travaux contribuent ainsi à la transition vers des solutions énergétiques plus durables et performantes.

Conclusion Générale

Ce mémoire a exploré la modélisation du comportement électrique d'un système photovoltaïque, en mettant en œuvre deux approches complémentaires : le modèle physique à une diode et le réseau de neurones artificiels (RNA). L'objectif principal était de prédire avec précision les courbes caractéristiques courant-tension (I-V) et puissance-tension (P-V) du module sous différentes conditions d'exploitation.

Les résultats obtenus ont mis en évidence les limites du modèle à diode, notamment sa sensibilité aux paramètres physiques et aux conditions ambiantes. En revanche, l'approche basée sur les RNA s'est révélée particulièrement performante, offrant une excellente capacité de prédiction, même pour des données non vues lors de l'apprentissage. Le modèle neuronal a su s'adapter aux variations d'irradiance (500 à 1000 W/m²) et de température (22 °C à 55 °C), tout en maintenant une erreur de prédiction faible et une haute fidélité aux mesures expérimentales.

Cette robustesse, combinée à une capacité de généralisation remarquable, confirme le potentiel des réseaux de neurones pour des applications concrètes telles que l'optimisation des performances des systèmes photovoltaïques, leur intégration dans des algorithmes MPPT intelligents, ou encore le suivi dynamique de la production d'énergie.

En conclusion, ces travaux ouvrent la voie au développement de solutions intelligentes, adaptatives et efficaces dans le domaine des énergies renouvelables. Ils contribuent à promouvoir une utilisation plus optimisée de l'énergie solaire, en particulier dans un contexte comme celui de l'Algérie, riche en ressource solaire et en quête de solutions énergétiques durables.

- [1]: Becquerel, A. E. (1839). "Mémoire sur les effets électriques produits sous l'influence des rayons solaires". Comptes Rendus de l'Académie des Sciences, 9, 561-567.
- [2]: Einstein, A. (1905). "Über einen die Erzeugung und Verwandlung des Lichtes betreffenden heuristischen Gesichtspunkt". *Annalen der Physik*, 17(6), 132-148.
- [3]: Green, M. A. (2003). Third Generation Photovoltaics: Advanced Solar Energy Conversion. Springer.
- [4]: Burton, T., et al. (2021). Wind Energy Handbook, 3rd Edition. Wiley.
- [5]: Paish, O. (2002). "Small hydropower: technology and current status". Renewable and Sustainable Energy Reviews.
- [6]: Jacobson, M.Z. (2009). "Review of solutions to global warming". Energy & Environmental Science.
- [7]: Wüstenhagen, R., et al. (2007). "Social acceptance of renewable energy innovation". Energy Policy.
- [8]: IEC 60904-1:2020 Photovoltaic devices Part 1: Measurement of current-voltage characteristics
- [9]: Luque, A., & Hegedus, S. (Eds.). (2011). *Handbook of Photovoltaic Science and Engineering* (2nd ed.). Wiley.
- [10]: Skoplaki, E. & Palyvos, J. A. (2009). "On the temperature dependence of photovoltaic module electrical performance". *Solar Energy*, 83(5), 614-624
- [11]: Chin, V. J. et al. (2015). "Photovoltaic models: A comprehensive review". *Renewable Energy Focus*, 14-15, 42-57
- [12] Shockley, W. (1949). "The Theory of p-n Junctions in Semiconductors". *Bell System Technical Journal*, 28(3), 435-489.
- [13]:Das, M. K. et al. (2017). "An Improved Two-Diode Model of Solar Cell for Renewable Energy Systems". Renewable Energy Focus, 20, 1-12.
- [14]: Hastie, T., Tibshirani, R., & Friedman, J. (2009). The Elements of Statistical Learning (2nd ed.). Springer.
- [15]: Photovoltaic Power Forecasting Using SVM with Weather Weighted Training Samples". *IEEE Transactions on Sustainable Energy*, 10(2), 814-822.
- [16]:Deep Neural Networks for Photovoltaic Power Prediction Under Partial Shading Conditions". *Applied Energy*, 308, 118358.
- [17]: Almonacid, F. et al".(2014) .Estimation of PV Modules Performance Using Artificial Neural Networks". Applied Energy, 130, 492-498.

[18]: "Comprehensive Approach to Modeling and Simulation of Photovoltaic Arrays". *IEEE Transactions on Power Electronics*, 24(5), 1198-1208.

[19]: Artificial Neural Networks and Support Vector Machines for Solar Radiation Prediction". *Renewable Energy*, 143, 302-315.